

1999-2001

תקופת המבחן:

256-0532-01

קוד מבחן:

Subject: MRI STUDY OF WATER STATUS IN BULBS DURING THEIR TRANSITION FROM "DORMANCY" PERIOD TO ACTIVE GROWTH

Principal investigator: RINA KAMENETSKY

Cooperative investigator:

Institute: Agricultural Research Organization (A.R.O.)

שם המבחן: שינויי במאזן המים הקשורות למים החופשיים בבצלים, בשלב המעבר שבין תקופה התרדמתה להנעורות: לימוד באמצעות NMR

חוקר הראשי: רינה קמנצקי

חוקרים שותפים:

מוסד: מינהל המחקר התקלאי, ת.ד. 6 בית דגן
50250

הקשר

הצגת הבעיה - פיתוח שיטות לגידול גאופיטים בישראל, דרוש לימוד עמוק על הפיזיולוגיה של הפריחה והריבוי בצמחים אלו. במהלך מחזור החיים השנתי, לאחר הפריחה, נכנסים רוב הגאופיטים לתקופה של תרדמתה היכולה להמשך עד ששה חודשים. בתקופת התרדמתה חלים בגאופיטים תהליכי של התמיינות אברים וגטטיביים וונגרטיביים, העתידיים להשתתף בעונה הבאה. בהרבה בצלים ובפקעות, טמפרטורות נמוכות נדרשות לשחרור מתרדמה.

מטרת המבחן - לעקוב אחר המעבר בין תקופה התרדמתה להנעורות בבצלים סום אפלטון ובצלים צבעוני, נבדקה האפשרות לשימוש בשיטות MRI (Magnetic Resonance Imaging) בבצלים תוך מציאות פרמטרים מתאימים ללימוד המצב הפיזיקלי של המים ברקמות הבצל בזמן האחסון.

תוצאות - ממצאים שנערכו במחקר זה באמצעות SEM ו MRI נמצאה התפתחות דומה במהלך האחסון ב-4 או ב-20 מ"ץ, אך לאחר שתילה התארכויות עמוד התפרחת והפריחה התרחשה רק בבצלים שנחשפו לטמפרטורות נמוכות, בעוד שקבוצת הביקורת הייתה מעוכבת מאוד בתהליכי אלו.

מסקנות - שיטת ה- MRI מאפשרת להבחן בשינויים בתכולתה ובמצב המים בתוך ובין התאים. שינוי שנדפסו בפרמטרים המקובלים ב-MRI, כמו T_1 , T_2 , ציפוי הפרוטונים ומקדם הדיפוזיה של המים מצביעים על שינויים במאזן המים אשר מתחבאים באופן בולט יותר בטמפרטורה נמוכה. ישנו

ראשונה במערכת צמחית את שיטת ה- MTC (Magnetization Transfer Contrast) אשר אפשרה לבחון באופן בולט את ההבדל בין בצלים שנחשפו לטיפול קור לאלו שלא קוררו. אחסון בטמפרטורה נמוכה עודד שחרור מים בגלדים, טרנסלוקציה של מים חופשיים בין אברים ומעבר מים לניצן המתפתח. לאור התוצאות הללו, אנו מציעים מחקר עתידי לפיתוח שיטת ה- MTC בבצלים באופן מדויק יותר ומדידת צמיחת גאופיט בשלבים שונים של התפתחותו במהלך השנה.

רשימת פריטים

1. Zemah, H, Bendel, P., Rabinowitch, H. and R. Kamenetsky (1999). Visualization of morphological structure and water status during storage of *Allium aflatunense* bulbs by NMR imaging. *Plant Science*, 147: 65-73
2. Kamenetsky, R., Zemah, H. and Bendel, P. (1999) Visualization of morphological structure and water status in the bulbs by magnetic resonance imaging (MRI). Israeli Society of Plant Sciences, 1999, Weizmann Institute of Science, Rehovot, Israel (unnumbered pages)
3. Zemah, H., Van der Toorn, A., Van As, H., Bendel, P. and Kamenetsky, R. (2000) Physiological changes during storage of tulip bulbs: study by magnetic resonance imaging (MRI). VIII International Symposium on Flower Bulbs, Kirstenbosch, Cape Town, South Africa, p. 75-76
4. Kamenetsky, R., Zemah , H., Van der Toorn, A., Bendel, P. and Van As, H. (2000). Use of Magnetic Resonance Imaging (MRI) for evaluation of physiological status of bulbs during storage. DIARP (The Joint Dutch-Israeli Agricultural Research Program) Bi-national Workshop on Advances in Handling, Transportation and Logistics of Ornamentals, Israel, 2000, p. 12.
5. Zemah, H., Vergeldt, F., Kamenetsky, R., van As, H. and Bendel, P. (2001). MRI monitoring of water status during storage of tulip bulbs: Imaging of relaxation rates, proton density, and magnetization transfer contrast (MTC). 4th User Meeting of the European Large-Scale Facilities for NMR, Noordwijkerhout, The Netherlands, p. 84
6. Kamenetsky, R., Zemah, H., van der Toorn, A., Van As,H and P. Bendel (2000) Morphological structure and water status in bulbs during their transition from dormancy to active growth: visualization of by NMR imaging. *Dormancy in Plants* (J.D. Viemont and J. Crabbe, eds). CAB International, p.121-138
7. Zemah, H., Van der Toorn, A., Van As, H., Bendel, P. and Kamenetsky, R. (2000). Physiological changes during storage of tulip bulbs: study by magnetic resonance imaging (MRI) *Israeli Society of Plant Sciences*, 2000, The Volcani Center, Bet Dagan, Israel (unnumbered pages)
8. Zemah, H., Vergeldt, F., Kamenetsky, R., van As, H. and Bendel, P. (2001). MRI monitoring of water status during storage of tulip bulbs: Imaging of relaxation rates, proton density, and magnetization transfer contrast (MTC). Annual Conference of the Israeli Society of Plant Sciences. Abstracts of Presentations. Israel Journal of Plant Sciences, Vol. 49, p. 171.
9. Bendel, P. Zemah, H, Kamenetsky, R., Vergeldt, F. and van As, H. (2001) Magnetization transfer and double-quantum filtered imaging as probes for motional restricted water in tulip bulbs. *Magnetic Resonance Imaging*, 19: 857-865
10. Kamenetsky, R., H. Zemah, A.P. Ranwala, D. Ranwala, F. Vergeldt, W.B. Miller, H. Van As and P. Bendel. Water relations and carbohydrate balance in tulip bulbs during their transition from dormancy to active growth (Submitted)

מבוא

גאופיטים מאופיינים באבר אגירה תת קركעי. בצל, פקעת או קנה שורש, שתפקידו העיקרי להבטיח את היישרדות הצמח בתנאים קשים (De Hertogh and Le Nard 1993). פיתוח שיטות לגידול גאופיטים בישראל, דורש לימוד عمמיק על הфизיולוגיה של הפריחה והריבוי של צמחים אלו. במהלך מחזור החיים השנתי, לאחר הפריחה, נכנסים רוב הגאופיטים לתקופה של תרדמה היכולה להמשך עד ששה חודשים. בתקופת התרדמה חלים בגאופיטים תהליכי חשובים של התמיינות אברים וגטטיבים וגנטיביים, העתידיים להשתתפות בעונת הבאה. בכך לקלות גידול מוצלח ופריחה במועד המתאים, על הצמח לעבור את כל שלבי ההתמיינות ולהשלים דרישות פיזיולוגיות מיוחדות לכל שלב בהתפתחותו. בהרבה בצלים ובפקעות, ידוע כי שלב ההתמיינות לפריחה מתרחש בתנאים של טמפרטורות גבוהות אך טמפרטורות נמוכות נדרשות להתררכות עליים וגבולי פריחה. מכיוון שבתנאי החורף השוררים בישראל הטמפרטורות אינן נמוכות דיין כדי למלא את דרישות הקור, יש לאחסן את הבצלים והפקעות בטמפרטורה נמוכה לפרק זמן מסויים לפני השטילה כדי להבטיח קבלת פריחה איקונית.

아버지 האגירה של גאופיטים נחשפים לטמפרטורות הסביבה (בשדה או במחסן), וברבים מהם משפיע החשיפה הזו על התהליכיים שיתרחשו בצמחים המתפתחים מהם. עוד ידוע כי גאופיטים רבים שעברו את גיל הנעורים מגיבים להשראת הקור בפריחה. התהליכיים הקשורים למעבר לבגרות פיזיולוגית, עצם קליטת ההשראה של הקור מתרחשים בתוך אברי האגירה, لكن קשה להעריך את השפעותיהם ואת מועד סיום של התהליכיים הללו ולימודם דורש בד"כ שיטות מחקר הרסניות, כך מנע מעקב רצוף של ההתפתחות ומהלכה בצמחים בודדים. ברוב הגאופיטים, שלבי ההתפתחות המתאיםים לניצול תיפול הקור ולסיוומו, אינם יזועים. בצד עוני, שהוא הגאופיט הנ查ק ביותר, ידוע שהזמן המתאים לקליטת טיפול הקור הוא בשלב התמיינות השחלה בפרח (שלב G). אך עד כה לא זוהה מzdד היכול לשמש זיהויי להשלמת דרישת הקור של הבצל (במינים דורשי קור), שהינה תנאי הכרחי להתררכות גבעול הפריחה ולהתפתחות ניצני התאחדות (Le Nard and De Hertogh, 1993a) (Gorin and Heidema, 1985; Lambrechts et al., 1994) (Higuchi and Sisa, 1967; Kanneworff and Van der Plas, 1994) (Reberes et al., 1991) (Walch and Van Hasselt, 1991) (Rakhimbaev et al., 1995; Aung and De Hertogh, 1979) (al., 1978; Aung and De Hertogh, 1979) הפתרומים האלו לא נתן הסבר על השפעת הטמפרטורה הנמוכה על המשך ההתפתחות ועל יכולת הצמח לפזרות.

הדמייה בלתי הרסנית של רקמות צמחים עיי תהודה מגנטית גרעינית NMR מהוות כלי רב עצמה המאפשר צפייה באבר הצמח הפנימיים וקביעת מצב המים באורגניזמים חיים. טכניקה זאת שימשה בהצלחה בלימוד מערכות ביולוגיות כמו פיזור מים בפירות (Wang et al., 1988; Mass et al., 1995) (Ishikawa et al., 1997) ולימוד תנועת מים בציורות הובליה, שורשים וגבועל (Bottomley et al., 1986; Omassa et al., 1985; Wang et al., 1986).

בשנים האחרונות, הוצע שלמאזן המים יש תפקיד חשוב בהתעדויות פקעים של עצים פרי נשירים מתרדמתה.

המים בركמה הצמחית, יכולים להקשר למולקולות גזולות (סוכרים, חלבוניים) או להימצא כמים חופשיים (Faust et al., 1991) המים החופשיים מהווים תזוז שבסתווי מתרחשים תהליכי פיזיולוגיים וביוכימיים רבים. מחקרים רבים נערכו בעץ פרי ובגינזולים אחרים בכונה לזהות את מצב המים בזמן התרדמתה, וללמוד את השפעת הקור על התפתחות הצמח. החוקרים הציעו כי טמפרטורות החורף הנמוכות מעודדות מעבר מצב של מים הקשורים למולקולות גזולות לצב של מים חופשיים (Faust et al., 1991; Liu et al., 1993; Millard et al., 1993), המאפשרים קיומם של תהליכי אנדווגניים שונים. לפיכך הסיקו כי שינוי זה במצב המים מעורב בהפסקת התרדמתה ובפריחה. חקירות מצבם הפיזיולוגי של ניצני אפרסק העלתה כי תכולה גבוהה של מים קשורים מKENה להם עמידות לקור, והמעבר למצב של מים חופשיים הוא המאפשר את הצימוח האבבי (Sugiyura et al., 1995). העובדות הללו הוו בסיס למסקנה לפיה תכונות המים החופשיים ברכמות הצמח עשויה לשמש עדות למצב התרדמתה בניוצנים המתפתחים (Faust et al., 1991; Liu et al., 1993; Millard et al., 1993) לימוד התהליכים פיזיולוגיים המתרחשים בתוך הבצל במהלך התרדמתה נעשה בעיקר ע"י חיטוך הבצל ומדידת השינויים בחלקים הפנימיים או שימוש ברכמות להסתכלות מיקרוסקופית ולבדיות ביוכימיות. הבדיקות הרנסניות הללו מונעות מעקב רצוף אחר תהליכי המתרחשים בצמח השלם. בשנים האחרונות פותחו שיטות בלתי הרנסניות, כגון הדמיה מגנטית גרעינית

(Nuclear Magnetic Resonance Imaging). באמצעות NMR (Magnetic Resonance Imaging). שיטה זו מאפשרת לימוד תהליכי שינוי המתרחשים *in vivo* ברכמות חיות (צמחיות וanimalliot), ואפיון חזותי של רכמות באופן בלתי פולשני. מדידת זמני הרלקטציה T_1 ו- T_2 מאפשרות זיהוי של מצב המים ברכמות כוון שערכם מעיד על יכולת התנועה של המים. זמן רלקטציה קצר מורה על כושר תנועה נמוך של המים ברכמה, ומכאן עדות על קשריהם למולקולות אחרות (Chudek and Hunter, 1997). MRI- H^1 מספק מידע על מצב המים ופיזורם ברכמה ומאפשר ציפה בלתי הרנסנית בצורות מורפולוגיות שונות (Yamazaki, 1995). תהליכי מטבוליסטים רבים, המתרחשים בזמן התרדמתה יכולים להוביל לשינוי בסיגナル ה- MRI של מולקולות המים. שינויים בחלק היחסי של מים קשורים וחופשיים, תכונות סוכרים או שינוי בפרמיabilities המבגרנות יכולים לגרום לשינויים בזמן הרלקטציה T_1 ו- T_2 ובמקדם הדיפוזיה של המים, D. טכניקת ה- MRI שמשה ללימוד בלתי הרנסני של ההתקפות של בצלים צבעוניים (Okubo et al., 1997). החוקרים עקו אחר השינויים ברמת המים החופשיים בתוך הבצלים ומצאו, כי ככל שאוחסנו בטמפרטורת החדר המים קשורים בחזקה לחומר תשמורת, יותר מאשר בצלים שאוחסנו בקור שימוש בפרמטרים ספציפיים בהדמיה (ציפויות ספינאים, T_1 , T_2 או ADC) בכדי לאפיין את מצב המים דוחו בעבר ע"י (Okubo et al., 1997), Liu et al., (1993) . Ishida et al., (1997)

מטרות המחקר

1. לימוד התהליכיים הפיזיולוגיים המתרחשים בגאופיטים בעבר בין שלב התרדמה לצימוח אקטיבי. בחינת השפעת טמפרטורה נמוכה במהלך האחסון על המורפולוגיה ההתפתחותית.
2. התאמת טכניקות MRI חדשניות ללימוד גאופיטים והשוואתן עם שיטות קונבנציונליות ללימוד אנטומיה של הרקמה ותכונות המים באברים שונים של הבצל.
3. מציאת מzd NMR שיאכל להצביע באופן מהימן על המצב הביופיזיקלי של המים בركמות

פירוט הניסויים שבוצעו והתוצאות שהתקבלו לתקופת הדוח

הניסויים נערכו במקביל במכון וולקני (המחלקה לפרחים), מכון וייצמן למדע ברוחניות ובמרכז ה-NMR ב-Wageningen, הולנד.

חומר צמחי

Allium alfatunense

מחקר בשנה הראשונה של הפרויקט. ב- 15 באוגוסט, נבחרו באקראי 50 בצלים, 25 מהם אוחסנו ב- 4 מ"ץ והאחרים ב-20 מ"ץ במשך 16 שבועות עד ה-16 בדצמבר. מכל קבוצת טיפול, נציגו באקראי 7 בצלים ששמשו לדימות חדשני-B-NMR. ב- 19 בדצמבר נשתלו 50 הבצלים בעציים בקוטר של 12 ס"מ שהכילו מצע טוף כבול ביחס נפח 80:20. העציים הועברו לפיטוטרון, והושמו שם בחדר בו נשמרו טמפרטורות של 12/12 מ"ץ לילה/יום בהתאם, ובאזור יום טבעי.

בשנה השנייה והשלישית של הפרויקט נחקרו בצל צבעוני *Tulipa gesneriana* מהזון Apeldoorn (Bulb Center, Lisse) הבצלים בגודל 10/11 ס"מ (בהיקף) נתקבלו מהמרכז ללימוד בצלים בlijsteh שבהולנד. הבצלים נאספו ביוני ואוחסנו ב 20 מ"ץ במשך חודשיים. בספטמבר, לאחר שהפרח בצל הגיע לשלב G חילקו את אוכלוסיות הבצלים לשנים, 50 בצלים אוחסנו ב 4 מ"ץ ו 50 בצלים נשארו בטמפרטורה של 20 מ"ץ במשך 12 שבועות. מספר בצלים מכל קבוצה סומנו ונלמדו באמצעות NMR ב-0,4,2,8,12 שבועות מתחילת האחסון. כמו כן נמדד הבצלים 14 ו 10 ימים לאחר שתילה. בדצמבר נשתלו הבצלים בעציים בקוטר של 12 ס"מ שהכילו מצע טוף כבול ביחס נפח 80:20. העציים הועברו לפיטוטרון, והושמו שם בחדר בו נשמרו טמפרטורות של 12/12 מ"ץ לילה/יום בהתאם, ובאזור יום טבעי.

שימוש ב NMR ללימוד המבנה המורפולוגי ולמדידת מצב המים ברכמת הבצל

הניסויים נערכו במקביל במכון וייצמן למדע ברוחניות ובמרכז ה-NMR ב-Wageningen, הולנד. במכון וייצמן, השתמשו בספקטורומטר הדמיה בעל מגנט בעוצמה של 4.7 טסלה Biospec תוצרת Bruker גרמניה.

בholes, השתמשו באלקטרומגנטי בעל עוצמה של 0.47 טסלה תוצרת Bruker. גרמניה המקשר לספקטורומטר SMIS, Surrey Medical Imaging Systems (Guilford, אנגליה).

הפרמטרים שנמדדו באמצעות MRI

1 אפיון חזותי (ויזואלייזציה) של אברי הבצל. הדימות של המבנה הפנימי של הבצלים נערכ ב_amp; באמצעות T₁-weighted spin echo pulse sequence (Farrar and Becker, 1971) TE=15 msec (echo time) TR=600msec ו- repetition time (TE-זמן הופעת ההד). עובי פרוסה 0.8 mm. כל עיבוד התמונות נעשו באמצעות התוכנה האינטראקטיבית Paravision תוצרת Bruker, גרמניה.

2 זמני הרלקסציה -זמן הרלקסציה T₁ ו-T₂ ייחודיים לתופעת ה-NMR והם מתארים את הקצב בו חוזרים הפרוטונים במצב הבסיסי לאחר הפרעה של שווי המשקל ע"י פולס של גלי רדיו. מידת זמני הרלקסציה מאפשר להעריך את צפיפות וכמות הפרוטונים ברקמה, ובאמצעות נינון לקבל דימות של המים הנידים (mobile) ברקמה הנבדקת. ערכיהם גבוהים של T₂ ו-T₁ מצביעים על ניידות גבוהה של הפרוטונים וכןחותם מים חופשיים בכמות גדולה יותר מאשר ברקמה בה נמדדים ערכיהם נמוכים של T₁ ו-T₂. (Chudek and Hunter, 1997)

3. מקדם הדיפוזיה של המים (ADC) Apparent Diffusion Coefficient המצביע על קצב מעבר המים ברקמה.

4. צפיפות הפרוטונים (Proton density) מצביע על כמות הפרוטונים ברקמה.
5. אפקט ה-MTE-Magnetization transfer effect. ידוע במערכות צמחיות, מהו זה מזד ליחס בין מים קשורים ומים חופשיים ברקמות. השיטה מאפשרת השפעה על הפרקציה הנזולית באופן בלתי ישיר, באמצעות פולס הגורם לרזואה של פרקציה המאקרו מולקולות וכך מאפשר למדוד את המים הקשורים ברקמה (Bendel et al., 2001).

מיקרוסקופיה

במהלך האחסון נערכ מרכיב מורפולוגי באמצעות מיקרוסקופ אור ומיקרוסקופ אלקטرونים סורק. חומר טרי נקבע ביוד IKI על מנת להבחן בגרגרי העמילן ו-Sudan Red לצביעת ליפידים. בנוסף ערכנו פיקסטציה ב-FAA וקייבנו בפרפין, הבלוקים נחתכו בעובי של 12 מיקרון ונקבעו ע"י אלציאן גריין/ספרניין (cholin/Alcian/Safranine). הבצל הופרד לאברי השונים ונשמר ב-FAA לאחר קיבוע בפרפין וחיתוך לפרוונות בעובי של 12 מיקרון. והדוגמאות נקבעו ע"י PAS לאיבוחן פוליסקרידים.

מידת משקל טרי וייבש

לאחר אחסון ב-4 ו-20 מ'ץ במשך 12 שבועות, 10 בצלים מכל טיפול הופרדו לאברים ונסקלו. לאחר מכן הוכנסו לתנור ייבוש תוצרת Salvis, שוצריה במשך 72 שעות בטמפרטורה של 70 מ'ץ ונסקלו שוב.

תוצאות

שום אפלטון *Allium aflatunense*

מחזור חיים שניתי והטפרחות הפרה

מחזור החיים השנתי של שום אפלטון מוצג באIOR 1 מרישטמה בלתי ממונעת של *A. aflatunense* ניתנה להבנה במרץ, כאשר צמח האס היה בפריחה מלאה. באוגוסט, לפני טיפול הקור נצפה באופן ברור התמיינות ראשונית של פרימורדיות פרחים על מרישטמת הטפרחות באמצעות SEM ברוב הבצלים שנבדקו (αιיר 2 : A,B). בדצמבר, לפני שתילה, ניתן לראות תפירות ממונעת הן ב- 4°C והן בקבוצת הביקורת (20°C) , (αιיר 2 : C,D) אך קיים הבדל באורךו של עמוד הטפרחות : בבצלים מקוררים הגיע עמוד הטפרחות לכדי 2 ס"מ בעוד שבבצלים שאוחסנו ב-20 מעלות אורכו של עמוד הטפרחות היה 1 ס"מ.

הדמיית התהודה המגנטית של בצלים מאפשרת לצפות בעוגת הבצל, אשר מורכבת מחלק בגור יותר (חלק תחתון) וחלק צעיר (עליון) , פרימורדיות שורשים, ניצן פריחה וגלד תשומות גודל, נצפו שינויים במבנה הגלדים, התארכות עליים ועמוד הטפרחות גדילת הבצל מחדש (αιיר 3).

קבעת ערך R ו- T₂ משוער (apparent T₂ values)

בניסוי זה מדכנו ערך משוער של T_2 שנתקבל מתוך תמונות יחס (R) שנוצרו מחלוקת הדמייה שהתקבלה בשני זמני הופעת הד (echo time) מתוך ערך R חושב ערך T_2 המשוער ($T_{2\text{app}}$). עליה בערך R משקפת ירידה בערכי T_2 ומצבעה על נוכחות מים קשורים למקромולקולות (T_{2app}). עליה בערך R משקפת ירידה בערכי R ומצביע על ניידות גבואה יותר של המים, ככלומר על כמות גדולה של מים חופשיים ברכמה, ואילו ירידה בערך R מצביעה על ניידות גבואה יותר של המים, ככלומר על כמות גדולה של מים חופשיים ברכמה.

באוגוסט, לפני תחילת האחסון נמדדנו ערכי R ו- $T_{2\text{app}}$ באקלוטיה של בצלים ע"פ אבריהם פרט לעמוד הטפרחת שעדיין לא היה מפותח די. מדידות נוספות נערכו במהלך האחסון, עד דצמבר, לפני השטילה. התמיינות הטפרחות התרחשה כאמור עוד לפני האחסון, אך לא ניתן היה למדוד את התארכות עמוד הטפרחת במהלך הניטוי. שני טיפול האחסון, נמצא ירידה משמעותית בערכי $T_{2\text{app}}$ בין תאריך המדייה הראשון לאחרן בעוגת הבצל ובשתי הgaldis אך לא בנצח המתפתח (טבלה 1 , אIOR 4). מתוך השוואת האפקט של שני תנאים האחסון על ערכי R נמצא ערך T_2 נמוך יותר בעוגת הבצל של הבצלים שאוחסנו ב- -4°C לעומת אלו שבקבוצת הביקורת.

לא נמצא הוכחה להשפעת הקור על ערכי R בгалדים ובטפרחות המותפתחת.

עליה מתמדת בערכי R נמדדה בעוגת הבצל של שתי קבוצות הטיפול אך ב- -4°C נמצאו ערכים הגבוהים באופן מובהק מקבוצת הביקורת כבר בחודש אוקטובר (αιיר 5).

טבלה 1. ערכי R ו- T₂ המשוער באברי הבצל באוגוסט (לפני האחסון) ובדצמבר לאחר ארבעה חדש אחסון ב- 4 ו- 20 מ"ץ.

דצמבר						אוגוסט		הابر הנמדד	
אחסון ב- 4 מ"ץ			אחסון ב- 20 מ"ץ						
	T ₂	R		T ₂	R	T ₂	R		
14.57±1.0 5	4.3±0.48 ^y		14.67±0.1 6	4.19±0.06 ^y		17.47±0.65	3.41±0.15	גולד ראשון	
13.78±1.3 6	4.74±0.70 ^y		14.4±0.79	4.43±0.28 ^y		17.03±0.59	3.50±0.18	גולד שני	
11.62±1.3 3	6.42±1.14 ^y ^z		10.03±0.3 6	8.32±0.56 ^y ^z		16.68±0.79	3.61±0.25	עוגת הבצל	
11.08±0.5 9	6.74±0.49		13.07±0.5 4	5.07±0.36 ^y		10.51±0.37	7.45±0.52	עלים	
14.83±1.2 7	4.22±0.54		15.82±0.1 3	3.77±0.039		17.76±0.59	3.27±0.14	תפרחת	
11.76±0.7 1	6.06±0.69		12.92±0.6 8	5.175±0.34		—	—	עמוד התפרחת	

у - הבדל מובהק בין ערכי R בשני מועד האחסון ($P>0.01$) .

z - הבדל מובהק בין הטיפולים ($P>0.05$).

התפתחות הצמח לאחר השטילה

בתחילת ינואר, כשבועיים לאחר השטילה, בצלים שאוחסנו ב- 4°C לבבו ואורך העלים הגיע לכ- 30 ס"מ. עמוד התפרחת נצפה בסוף ינואר והגיע לאורך של 60 ס"מ בחודש פברואר. הפריחה שהחלה בחודש פברואר נשכחה עד מרץ. בצל היבוקות שלא חשו בטמפרטורות נמוכות במהלך האחסון לבבו רק בסוף פברואר והגיעו לאורך של 2-3 ס"מ. עמוד בתפרחת התארך (מעט 2 ס"מ) אך מעולם לא הגיע לפריחה ונשאר בתוך בבצל.

צבעוני מהין Apeldoorn

מורפולוגיה והיסטולוגיה של הבצל

בולי- אוגוסט עד בטרם הוכנסו הבצלים לאחסון נצפו תחיליות שורשים. בחוץ האורך של עוגת הבצל נמצאו רכמות שונות: תא אחסון גדולים, תאים דחוסים קטנים וצורות הובלה (איור 6 A ו- B). בחודש אוגוסט לפני האחסון שלב G (התפתחות עלי שחלה, שלב המਸמן את המועד לתחילת טיפול הקור) נמצא בכל הבצלים שנבדקו. בבדיקות מיקרוסקופיות נמצא שנדי התשומות מכילים תאים גדולים (כ- 125 מיקרון), החלקו המרכזית של הגולד התאים מכילים גרגורי עמיין בציפוי רמה ובגדלים שונים. בשכבה התת אפידרמלית של הגולד והתאים צפינו בחומר דמי גל שנמצא כפוליסקריד עיי צבעה באלאציאן גרין/ ספרניין. בחודש דצמבר, בתום האחסון, צפינו בפירוק של גרגורי העמיין בשני הטיפולים (איור 7). במהלך האחסון התפתחות והתרכבות הניצן המרכזי נצפה

הן באמצעות חיתוך הבצלים והן באמצעות הדימות ב-NMR (איור 8). בחודש דצמבר לאחר 12 שבועות באחסון הפקע המרכזי מכיל פרימורדיות עלים על גבי גבעול פריהה ופרת. הפרח המתפתח מרכיב מטיפוסי רקמה שונים, תאים קטנים וחלים בין תאים (איור-C). הדימות NMR שנערכו 10 ימים לאחר השטילה בבצלים לאחר אחסון ב 4-20 מ"ץ מוצגות איור 9. בבצלים מקוררים גבעול הפריהה נמצא מחוץ לאזור הרגש של הסליל וניתן לראות רק את בסיסו בעוד שבצלים לא מקוררים הפקע כמעט ולא התארך וניתן לראותו. הגלים בבצלים שאחסנו ב 4 מ"ץ איבדו כמעט מים שימושית בהשוואה לאלו שאחסנו ב 20 מ"ץ. שבועיים לאחר השטילה בצלים שאחסנו ב 4 מ"ץ לבלבו והגיעו לגובה של 15-11 ס"מ. עמוד התפרחת והגיעו בסוף חדש ינואר לגובה של 45 ס"מ. הפריחת התרחשה במהלך חדש פברואר. בהשוואה בצלים שאחסנו ב 20 מ"ץ לבלבו בסוף פברואר והגיעו לגובה של 2-3 ס"מ. עמוד התפרחת התארך מעט בתוך הבצל והפרח הופל.

הערכת המצב הפיזיקלי של המים באמצעות NMR

בניסויים אלו נמדד זמני הרלקציה T_1 ו- T_2 המוצגים כאן כ R_1 ו- R_2 שם הערכיים הרצפוקלים של T_1 ו- T_2 . השימוש ב T או R מתארים באותו האופן את זמני הרלקציה, והשימוש בכל אחד מהם נובע מטעמי נוחות לחישוב הנתונים המתקבלים. באיר 8 מוצגות מפות R_2 (T_1 /1) לשני בצלים מייצגים ב 5 נקודות זמן במהלך האחסון ב 4 ו- 20 מ"ץ בהתאם. מפות ה- R_2 מצביעות על מגמה כללית של זמן רלקציה מהיר יותר בגלים ובעוגת הבצל בסוף תקופת האחסון - 4 ו- 20 מ"ץ. בהדמיות המציגות את צפיפות הפרוטונים קיים הבדל בין 4 ו- 20 מ"ץ וגם הוא בולט באזורי הצדדים של הגלד (תת- אפידרמלי). בבצלים ללא מקוררים אזור זה עשיר יותר במים ביחס לחלק המרכזי של הגלד, היחס הזה לא השתנה באופן משמעותי במהלך האחסון. בהשוואה, בצלים המקוררים היחס בין החלק המרכזי של הגלד והשכבה התת אפידרמאלית גדול יותר. הערך הממוצע של R_2 בגלים ובעוגת הבצל מוצג באיר 10. בשני הטיפולים זמן הרלקציה הופך להיות מהיר יותר (מתפרק). בעוגת הבצל שינוי זה גבוה יותר ב 4 מ"ץ. צפיפות הפרוטונים בעוגת הבצל והgLים כממוצע של כל הצלים ב 14 מ"ץ בהתאם, מוצגות באיר 11. בשני הטיפולים נפתחה ירידה ברורה בתוכנות המים בעוגת הבצל במהלך האחסון אך נמצא הבדל מובהק בין 4 ל 20 מ"ץ. גלים תחולת המים הממוצעת נשארה קבועה והערכים ב 4 ו- 20 מ"ץ היו דומים. חשוב לציין שערכים אלו מייצגים את כל הגלד ללא הבחנה בין החלקים הצדדים והחלק המרכזי, כך הפיזור המוחודש של המים בין חלקיו הגלד, אותו ניתן לראות באיר 8 לא בא לידי ביטוי בגרף (איור 11).

היסטוגמות המראות את פיזור המים בגלים כממוצע של כל החזרות בטיפול מוצגות באיר 12. היסט לכוון ערכי R_2 גובהו יותר (T_2 קצר יותר) וערכים נמוכים יותר של צפיפות הפרוטונים מוצגים באופן ברור בהיסטוגמות. בעוגת הבצל נמצא הבדל מובהק בערכי R_2 בין 4 ל 20 מ"ץ, אך לא נמצא הבדל בцеיפות הפרוטונים. מפות R_1 (T_1 /1) של שני בצלים מייצגים לאחר 12 שבועות אחסון ב 4 או ב 20 מ"ץ מוצגים באיר 13. קיימים הבדלים ברורים באזורי הצדדים של הגלים בהם R_1 נמוך יותר ב 20 מ"ץ לעומת 4 מ"ץ.

איורים 14-15 מציגים את ערכי הדיפוזיה שנמדדו באמצעות NMR. באיוור 14 ניתן לראות בצל מיצג מכל טיפול ב 5 נקודות זמן במהלך האחסון. איור 15 מתאר את הממוצע של כל הבצלים (4 ו 20 מ"ץ) באברים השונים. נמצאה נטייה מובהקת לעלייה בערכי הדיפוזיה (ADC) ב 20 מ"ץ לעומת זאת ב 4 מ"ץ ערכי הדיפוזיה נשארו יציבים במהלך תקופה האחסון.

בשנה השלישית של הפרויקט בחנו שיטה חדשה למיזידת מים קשוריים וחופשיים Magnetization (MTC). שימוש בטכניקה של MTC (Transfer Contrast) ל上岗 After Median Time הקשורים והחופשיים בצל מציג על תכולה שונה של מים קשוריים בגלים של בצל צבעוני במהלך ובתום האחסון. לאחר אחסון ב 4 מ"ץ במשך 8 שבועות, תכולת המים הקשוריים הייתה נמוכה יותר בגלים של בצלים שאוחסנו ב 4 מ"ץ לעומת גלים של בצלים שאוחסנו ב 20 מ"ץ (טבלה 2). בניתוח המתפתח נפתחה מגמה הפוכה ואפקט ה-MT עלה במידה רבה יותר בצלים שאוחסנו ב 4 מ"ץ לעומת אלו שב 20 מ"ץ.

טבלה 2. הערכי אפקט ה- MT Magnetization Transfer בgLים ובניצן

MTE (MT effect) ניצן	MTE (MT effect) gLים	אוכלוסיות הבצלים (n=10)
0.313±0.002	0.533±0.029	לפני האחסון
0.421±0.022	0.507±0.016	לאחר אחסון ב 20 מ"ץ
0.562±0.012	0.371±0.036	לאחר אחסון ב 4 מ"ץ

את ההבדלים בין טיפול האחסון ניתן לראות גם באיוור 16 המציג את הדמיות ה MRI תוך שימוש בשיטת ה MTC . ניתן לראות בברור את ההבדלים בין הטיפולים, נמצאו שיש יותר מים קשוריים בגלים טיפול האחסון ב - 20 מ"ץ לעומת 4 מ"ץ. המגמה הפוכה נפתחה בניצן כאשר יותר מים קשוריים נמצאו ב 4 לעומת 20 מ"ץ. מדידת משקל טרי ויבש שנערכו לאחר 12 שבועות אחסון ב 4 ו 20 מ"ץ מוצגות בטבלה 3.

טבלה 3. המשקל הטרי והיבש בgLים ובניצן המרכזי של בצל צבעוני לאחר אחסון ב 4 ו/או 20 מ"ץ

ניצן		gLים		משקל טרי (גרם)
4 מ"ץ	20 מ"ץ	4 מ"ץ	20 מ"ץ	
1.21±0.09	1.09±0.55	3.91±0.2	3.89±0.08	
21	28	37	33	אחוז המשקל הייש

מתוך הטבלה ניתן לראות של אף שלא קיים הבדל במשקל הטרוי של הגלד והניצן ב-4 וב-20 מ"ץ נמצא הבדל מובהק באחוז המשקל היישן. בגדלים המשקל היישן גבוה יותר ב-20 מ"ץ, ובניצן אחוז המשקל היישן גבוה יותר ב-4 מ"ץ. תוצאות אלה מוכיחות את הממצאים שנתקבלו במדידות ה MTC

مسקנות והשלכותיהן

עד כה רוב המחקרים על התפתחויות צמחים נערכו בשיטות הרסניות, אשר אינן מאפשרות לימוד מתמשך של האובייקטים. MRI הנה טכניקה בלתי הרסנית יכולה לשמש כטיטה רבת עצמה לאפיון של שינויים מורפולוגיים באברים שונים בצמח וברקמותיו ובכדי ללמד את מצב המים במהלך ההתפתחות הוגטטיבית וההתפתחות הרפרודוקטיבית בצמח כולו.

גאופיטים מכילים אברים מוגדרים ונודלים יחסית וכן מתאימים לאובייקט לשימוש ב- MRI. כך הaptopster 가능 במחקר זה לעקב אחר השינויים המורפולוגיים ומצב המים של אברים שונים בצליל שום אפלטון ובצליל צבעום בזמן האחסון.

בזמן רב שנתים השחרור מתרדמה ע"י טמפרטורות נמוכות כולל תהליכי מרכיבים ומבקר נראות ע"י מספר גורמים. התהליך מלוחה בשינויים מורפולוגיים, ביוכימיים, התפתחותיים והיסטולוגיים המושפעים מהאחסון בקור, אך תהליכי אלו מתרחשים ברמות שונות גם בצללים שלא נחשפים לטמפרטורות נמוכות (De Hartsema, 1961; Le Nard et al., 1988; Le Nard and De Hertogh, 1993, Hobson and Davies, 1977; Banasik, et al., 1980; De Hertogh et al., 1983, Lambrechts et al., 1994; Rebers et al., 1995; Walch and Van Hasselt, 1991) (Faust et al., 1991; Liu et al., 1993; Millard et al., 1993). במחקר זה עקבנו אחר השינויים בייחסים המים בצללים במהלך המעבר לנידול פעיל.

אייניציאציה של התפרחת בצליל שום אפלטון וצבעוני, מתרכשת בזמן הפריחה של צמח האם. מתrzpitot שנערכו במחקר זה באמצעות SEM וב MRI נמצאה התפתחות דומה במהלך האחסון ב-4 או ב-20 מ"ץ, אך לאחר שתילה התארכות עמוד התפרחת והפריחה התרחשה רק בצללים שנחשפו לטמפרטורות נמוכות בעוד שקבוצת הביקורת הייתה מעוקבת מאוד בתהליכי אלו.

התפתחות הפנימית בצליל (Intrabulb development) הינה תהליך דורש אנרגיה וכן מלאה בצריכה והעברה של חומרי תשמרות או תוצרי הפרוק שלהם. כפי הנראה דרישת הקור אינה הכרחית לתהליכי של העברות חלבוני תשמרות בגדים, שינוי בתכולת הפוליאמינים (Kolloffel et al., 1992) או פרוק עמילן (Lambrecht et al., 1994). הוצע שטיפול הקור מוביל לשינויים במצב המים ברקמות הצליל ומעבר של מים במצב בו הם קשורים למולקולות גזولات במצב חופשי (Okubo et al., 1997; Iwaya et al., 1996), בצללים של שום אפלטון, שאוחסנו ב-4 או 20 מ"ץ, נמזהה ירידת מובהקת בערכי T_2 לאחר 4 שבועות של אחסון. התוצאות שנתקבלו בצללי צבעוני הציבו על החשיבות של יצירת ההדמיות ע"י המדים כמו R_1 , R_2 , או ADC ערכי המדים אלה אינם שרירתיים ולכן ניתן להשוות את התוצאות למחקרים אחרים כמו-CN הפרמטרים האלה יכולים

להוות סמן וגייס למצב הביוфизיקלי של המים ברמה התאית. מקובל שעליה בתקולת המים החופשיים מלאה בירידה בזמן הרלקטציה R_1 ו- R_2 . היחס הזה נמצא בתוצאותינו. כך בשכבה התת אפידרמלית בצדיה הנגד של בצלים שאוחסנו ב 4 מ"ץ ירידה בצפיפות הפרוטונים נצפה יחד עם עלייה ב R_2 ו- R_1 ירידה בתקולת המים בעוגת הבצל מלאה בעלייה בערכי R_2 . במקרים שנעשו בעבר פירשו שניינים Faust et al., 1991; Liu et al., 1993; Millard et al., 1993). מן התוצאות שקיבלו במחקר זה אנו סוברים שהזיהוי ההסביר היחיד. יחס המים החופשיים עשוי להשתנות הודות לטרנסלוקציה של המים החופשיים בין אברים או רקמות, ומגנון זה קבוע במרקם מסוימים את תוצאות הדמיה. בצל צבעוני, הניצן מתפתח, ככלומר המשא שלו עולה, והוא בעיקר מים. מכון שאין הספקת מים חיונית זו זאת היא מערכת סגורה, אפשר להניא שהמים מניעים מאורירים אחרים של הבצל. בגדלים תכולת המים המומוצעת נשמרת קבועה בשני טיפולים האחסון, אך זה לא מוכיח שאין איבוד מים מן הגדלים. מכון שהנפח הכללי של הגדלים הוא גדול בהרבה מזה של עוגת הבצל או הניצן, איבוד של כמות משמעותית ביחס אליהם יכול להראות מאוד קטן. העלייה בערכי R_2 בגדלים במהלך האחסון יכולה להצביע על כך שגם הגדלים מספקים מים לניצן המתפתח. בהדמיות שנתקבלו לאחר שתילה, איבוד המים מהגדלים מאוד ברור במיזוג בצלים המקוריים. החומר דמוו הגיל שנמצא בשכבה התת אפידרמלית בצד של בצל צבעוני, יכול להיות פוליסכרייד לא מבני כמו גליקומן שכוראה משפיע על יחס המים בתא. נראה שאזרורים אלה משמשים כאזרורי אחסון למים, אשר מספקים לאזור הפנימי של הגדל במהלך תקופת האחסון. דוחות שבושון האחסון בטמפרטורה נמוכה מעוזד פירוק של גליקומננים בגדלים (Miller and Reid, 1982). כפי הנראה טרנסלוקציה של מים היא בעלת תפקיד מרכזי בהתפתחות בריאה של ניצן הפריחה והיא מעורבת באופן כלשהו בטמפרטורות נמוכות. בדומה לתוצאות שנתקבלו בצלים של *Allium aflatunense* (Zemah et al., 1999), גם בצל צבעוני ערכי T_2 התקצרו במהלך האחסון גם בגדלים וגם בעוגת הבצל של בצלים מקוררים. ערכי הדיפוזיה נשארים קבועים בצלים המקוריים בעוד שהם עולים באופן משמעותי בצלים שאוחסנו ב 20 מ"ץ. זה מציע שבמערכת זאת הערכים בתנאי המדידה שנערכו אינם נמצאים בהתאם לתקולת המים החופשיים, ויתכן שגם מדידה אמיתית של תנועת המים ברמה התאית. הוכח בפרסומים אחרים שינוי בזמן הרלקטציה (T_1 , T_2) לא משקפים רק את השינוי בתקולת המים במרקמות אלא גם יכולים לשמש אינדיקציה לשינוי בצורתי התא הפנימית (Okubo et al., 1997; Usha et al., 1994) בפקעות של קала, בתאים גדולים עם תקולת לחות גבוהה זמן הרלקטציה ארוך יותר בהשוואה לתאים קטנים בעלי תcoliות לחות נמוכה יותר (Robinson et al., 2001). בצלעים תאים גדולים עם כמות גדולה של גרגרי עמילן מרכיבים את תא הפרכימה של הגדלים בעוד שהניצן המרכזי בניו מתאים קטנים בעלי דופן דקה ומיכליים פחות גרגרי עAMILן ואך גדלים זעיר יותר.

לאור התוצאות שהתקבלו במחקר השיטה המתאימה ביותר לאבחן מצב הפיזיקלי של המים בركמה היא מדידת אפקט ה- MT (Magnetization Transfer) שמנגד לראונה במרקמות צמחיות במחקר זה (Bendel et al., 2001). אפקט ה- MT הצבען באופן ברור על נוכחות פרוטונים מוצקים (solid protons) או פרוטונים בעלי תנוצה מוגבלת (motional restricted protons) במרקמות בצל הצבעוני. קבוצת פרוטונים זו כוללת פרוטונים של מים, אך יכולה לכלול גם פרוטונים של מטריקס

מוחק כמו שרשראות קאלוז, עמילן ופוליסכרידים אחרים. מותצאות אפקט ה-MT נמצאה שינויי מובהק במצב המים בגלדי התשומות ובניצן המתפתח של בצל צבעוני לאחר אחסון ב- 4 ו- 20 מ"ץ (אייר 16). פרקציה קטנה יותר של פרוטונים מוחקים שאולי מייצגים מים "קשורים" נמצאה בגלדים של בצלים מ- 4 מ"ץ, כאשר בניצן המתפתח נוכחות הפרוטונים ה"קשורים" עולה. תוצאות אלה נתמכות גם בבדיקות ההרטסניות. תכולת המים בגלדים הייתה גבוהה יותר ב- 4 מ"ץ לאחר 12 שבועות באחסון. לאחר שההיליך זה היה גבוה יותר בצלים שנחשפו לטמפרטורה נמוכה, כמוות הפרוטונים בעלי התנועה המוגבלת בגלדים הייתה נמוכה יותר בהשוואה לצלים שאוחסנו ב- 20 מ"ץ. במהלך אחסון הצלים הפרקציה של הפרוטונים מוחקים עלתה בניצן המרכזי גם ב- 4 וגם ב- 20 מ"ץ. בצלים שאוחסנו ב- 4 מ"ץ התהיליך התבטה באופן חזק יותר. ממצאים אלה תומכים בהנחה שצברת משקל יבש וקשרית מים בתאי הניצן המרכזי מתרחשים באופן מואץ יותר בתנאים של טמפרטורה נמוכה.

מהותצאות שהתקבלו המחקר זה באמצעות MRI בצלים שום אפלטון ובצלים צבעוני, נמצא שיטה זו אפשרית להבחין בשינויים בתכולה ובמצב המים בתוך ובין התאים. שינויים אלו היו תלויים בתנאי האחסון של הצלם ושלב ההתפתחותיו שלו. שינויים רבים שמדוינו באמצעות הפרמטרים השונים מביעים על תהליכי הקשורים בשינויי מצב המים במהלך ההתפתחות שינויים אלו שנמדדו בפרמטרים המקובלים ב-MRI, כמו T_1 , T_2 , צפיפות הפרוטונים ומקדמת הדיפוזיה של המים מביעים על שינויים ההתפתחותיים אשר מटבטים באופן בולט יותר בטמפרטורה נמוכה. יישום של שיטת ה- MTC אפשרה לבחון באופן ברור יותר את ההבדל בין בצלים אשר נחשפו לטיפול קור לאלו שלא קוררו. לאור התוצאות הללו, אנו מציעים מחקר עתידי לפיתוח השימוש בשיטת ה- MTC בצלים באופן מדויק יותר ומידית צמח גאופיט בשלבים שונים של ההתפתחותו במהלך השנה.

רשימת ספרות

- Aung LH, De Hertogh AA. 1979. Temperature regulation of growth and endogenous abscisic acid-like content of *Tulipa gesneriana* L. *Plant Physiology* 63, 1111-1116.
- Banasik L, Rudnicki RM, Saniewski M. 1980. The physiology of hyacinth bulbs (*Hyacinthus orientalis* L.), XIII. The distribution of amylase and acid phosphatase activities and starch grain in hyacinth bulbs. *Acta Physiologae Plantarum* 2, 145-156.
- Bendel P., Zemah H., Kamenetsky R., Vergeldt F. and Van As H. 2001 Magnetization transfer and double-quantum filtered imaging as probes for motional restricted water in tulip bulbs. *Magnetic Resonance Imaging* 19, 857-865.
- Bottomley, P.A., H.H. Rogers and T.H. Foster. 1986. NMR imaging shows water distribution and transport in plant root systems *in situ*. Proc. Natl. Acad. Sci. 83: 87-89
- Chudek, J.A. and Hunter, G. 1997. Magnetic resonance imaging of plants. Progr. in Nucl. Magn. Reson. Spectr. 31: 43-62
- De Hertogh AA, Le Nard M. 1993 Physiological and biochemical aspects of flowerbulbs. In: De Hertogh AA, LeNard M, eds. *The Physiology of Flower Bulbs*. Elsevier, Amsterdam. P. 53-69.

- Faust M, Liu D, Millard M M, Stutte GW. 1991. Bound versus free water in dormant apple buds - a theory for endodormancy. *Hort. Science* 26, 887-890
- Gorin N., Heidema FT. 1985. Starch content of freeze-dried anthers and alpha-amylase activity of their extracts as criteria that dried-stored bulbs (*Tulipa gesneriana* L.) 'Apeldoorn' have been exposed to 5°C. *Scientia Horticulturae* 26, 183-189.
- Hartsema AM. 1961. Influence of temperatures on flower formation and flowering of bulbous and tuberous plants. In: Ruhland W, ed. *Handbuch der Pflanzenphysiologie*, Vol. 16, Berlin: Springer Verlag, 123-167.
- Hobson GE, Davies JN. 1977. Mitochondrial activity and carbohydrate levels in tulip bulbs in relation to cold treatment. *Journal of Experimental Botany* 28, 559-568.
- Higuchi H, Sisa M. 1967. Serological analysis on the change of protein in scaly leaf tulip bulb caused by low temperature treatment. *Journal of Japanese Society of Horticultural Science* 36, 55-60.
- Ishida N, Ogawa H, Koizumi M, Kano H. 1997. Ontogenetic changes of the water status and accumulated soluble compounds in growing cherry fruits studied by NMR imaging. *Magnetic Resonance in Chemistry* 35, 522-528.
- Iwaya-Inoue M, Okubo H, Matsuo E, Motoooka K, Ishida N, Koizumi M, Kano H. 1996. Characterizing chilling responses for tulip bulbs by ¹H-NMR imaging in relation to metabolic activity. *Cryo-Letters* 17, 241-248.
- Kanneworff, WA, Van der Plas LHW. 1994. Respiration of bulb scale fragments of tulip after storage at 5°C. *Plant Science* 104, 31-38.
- Kolloffel, C, J. Geuns and Lambrechts, H. 1992 Changes in free polyamine contents in tulip bulbs Apeldoorn during dry-storage. *Acta Hort.*, 325, 247-252.
- Lambrechts H, Rook F, Kolloffel C. 1994. Carbohydrate status of tulip bulbs during cold-induced flower stalk elongation and flowering. *Plant Physiology* 104, 515-520.
- Le Nard M, Fiala V, Querou Y, Jolivet E. 1988. L'arginine, marqueur moléculaire de l'état physiologique du bulbe de *Tulipa gesneriana* L. *Comptes Rendus des Séances de l'Academie de Science de France*, Serie III 307, 557-562.
- Le Nard M., De Hertogh AA. 1993. Tulipa. In: De Hertogh AA, Le Nard M, eds. *The physiology of flower bulbs*. Amsterdam: Elsevier, 617-682.
- Liu, D., Faust, M., Millard, M. M., Line, M. J. and Stutte, G. W. 1993. States of water in summer-dormant apple buds determined proton magnetic resonance imaging. *J. Amer. Soc. Hort. Sci.*, 118:632-637
- Millard, M. M., Liu, D., Line, M. J. and Faust, M. 1993. Method for imaging the states of water by nuclear magnetic resonance in low-water-containing apple bud and stem tissues. *J. Amer. Soc. Hort. Sci.*, 118:628-631
- Miller H, Reid JSG. 1982. Reserve polysaccharides other than starch in higher plants. In.: Loewus FA, Tanner W, eds. *The Encyclopedia of Plant Physiology*. Vol. 13A. Berlin: Springer Verlag , 418-471
- Okubo H, Iwaya-Inoue M, Motoooka K, Ishida N, Kano H, Koizumi M. 1997. Monitoring the cold requirements in tulip bulbs by ¹H-NMR imaging. *Acta Horticulturae* 430, 411-417.
- Omassa, K., M. Onoe and H. Yamada. 1985. NMR imaging for measuring root systems and soil water content. *Environ. Control Biol.* 23: 99-102
- Rakhimbaev IR, Syrtanova GA, Solomina VF. 1978. The effect of cold treatment on the level of biological activity of endogenous growth regulators of tulip bulbs. *Plant Physiology (USSR)* 25(2), 249-253 (in Russian).

- Rebers M, Vermeer E, Knecht E, Shelton CJ, Van der Plas HW. 1995. Gibberellin levels and cold-induced floral stalk elongation in tulip. *Physiologia Plantarum* 94, 687-691.
- Robinson A, Clark C.J. and Clemens. 2000 Using ¹H magnetic resonance imaging and complementary analytical techniques to characterize developmental changes in Zantedeschia Spreng. tuber. *Journal of Experimental botany* 353, 2009-2020.
- Sugiura, T., M. Yoshida, J. Magoshi and S. Ono. 1995. Changes in water status of peach flower buds during endodormancy and ecodormancy measured by different scanning calorimetry and Nuclear Magnetic Resonance spectroscopy. *J. Amer. Soc. Hort. Sci.*, 120(2): 134-138
- Usha, K., Gambhir, P. N., Sharma, H. C., Goswami, A. M. and Singh, B. 1994 Relationship of molecular mobility of water with floral malformation in mango as assessed by nuclear magnetic resonance. *Scientia Horticulturae* 59, 291-295.
- Walch K, Van Hasselt P. 1991. The influence of low temperatures on the membrane lipid composition and flowering capacity of Tulip bulbs. *Acta Horticulturae* 298, 345-353
- Wang, S. Y., P. C. Wang and M. Faust. 1988. Non-destructive detection of watercress in apple with nuclear magnetic resonance imaging. *Sci. Hort.*, 35: 227-234.
- Wang, S. Y. and S. J. Chang. 1986. Nuclear magnetic resonance imaging in wood. *Wood fiber Sci.* 18: 308-314
- Yamazaki H, Ishida N, Katsura N, Kano H, Nishijima T, Koshioka M. 1995. Changes in carbohydrate composition and water status during bulb development of *Allium wakegi* Araki. *Bulletin of the National Research Institute of Vegetables, Ornamental Plants and Tea, Japan* A 10-11, 1-11.
- Zemah, H, Bendel, P., Rabinowitch, H. and R. Kamenetsky. 1999. Visualization of morphological structure and water status during storage of *Allium aflatunense* bulbs by NMR imaging. *Plant Science*, 147: 65-73

סיכום

1. מטרות המחקר לתקופת הדוח'ח תוך התייחסות לתוכנית העבודה:

מציאת פרוטוקול עבודה מתאים לשימוש ב NMR למחקר בבצלים תוך מציאת פרמטרים מתאימים ללימוד מצב המים בזמן האחסון, ניסיון לפתח שיטה לשימוש במאזן המים כדיינקציה לסיום טיפול הקור ותחילת התעוררות הבצל מתרדמתה. אפיון של צורות מורפולוגיות במהלך ההתפתחות באמצעות MRI ומיקרוסקופ אלקטרוני סורק, SEM.

2. עיקרי הניסויים והتوزאות שהושגו בתקופה אליה מתייחס הדוח'ח:

מעקב אחר ההתפתחות של בצל שום אפלטון ובצל צבעוניים באמצעות מיקרוסקופ אלקטרוני סורק ובמקביל הדמיה באמצעות MRI. מדידת השינויים במאזן המים במהלך האחסון באמצעות הפרמטרים של RI (T1, ציפויות פרוטוניים ו- C). פיתוח השימוש בשיטת ה- C MTC בבצלים. התוצאות הצבעו על שינויי המים באברי הבצל השונים במהלך האחסון 4-20 מ"ץ. אחסון בטמפרטורה נמוכה עדד שחרור פרוטוניים בגדים, טרנסלוקציה של מים חופשיים בין אברים ומעבר מים לניצן המתפתח.

3. המסקנות המדועות וההשלכות לגבי יישום המחקר והמשכו:

מתכניות שנערכו במחקר זה באמצעות SEM ו- MRI נמצאה ההתפתחות דומה במהלך האחסון 4-20 מ"ץ, אך לאחר שתילה התארכות עמוד התפרחת והפריחה התרחשה רק בבצלים שנחקרו לטמפרטורות נמוכות בעוד שקבוצת הביקורת הייתה מעוקבת מאוד בתהליכיים אלו. שיטה MRI מאפשרת להבחן בשינויים בתכולה ובמצב המים בתוך ובין התאים. שינוי שנדדו בפרמטרים המקבילים ב- MRI, כמו T1, T2, ציפויות הפרוטוניים ומקדם הדיפוזיה של המים מצביים על שינויי ההתפתחותיים אשר מתבטאים באופן בולט יותר בטמפרטורה נמוכה. יישום של שיטת ה- C MTC אפשרה לבדוק באופן ברור יותר את ההבדל בין בצלים אשר נחשפו לטיפול קור לאלו שלא קוררו.

4. הבעיות שנותרו לפתורן ואו השינויים שחלו במהלך העבודה (טכנולוגיים, שיווקיים ואחרים)

התיקחות המשך המחקר לבניהן

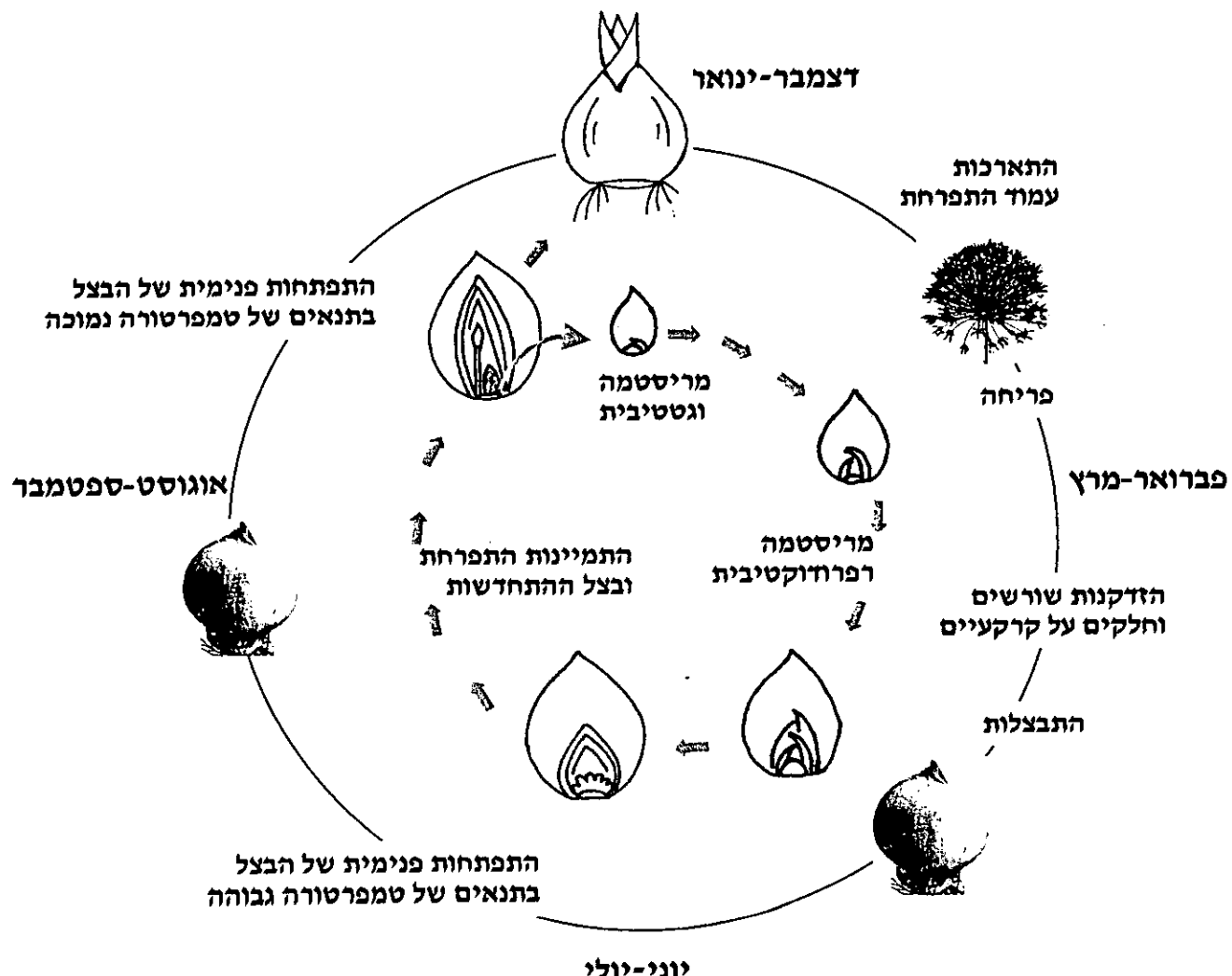
ביצוע הפרויקט מתנהל על פי התוכנית המקורית.

5. האם הוחל כבר בהפצת הדעת שנוצר בתקופת הדוח'ח:

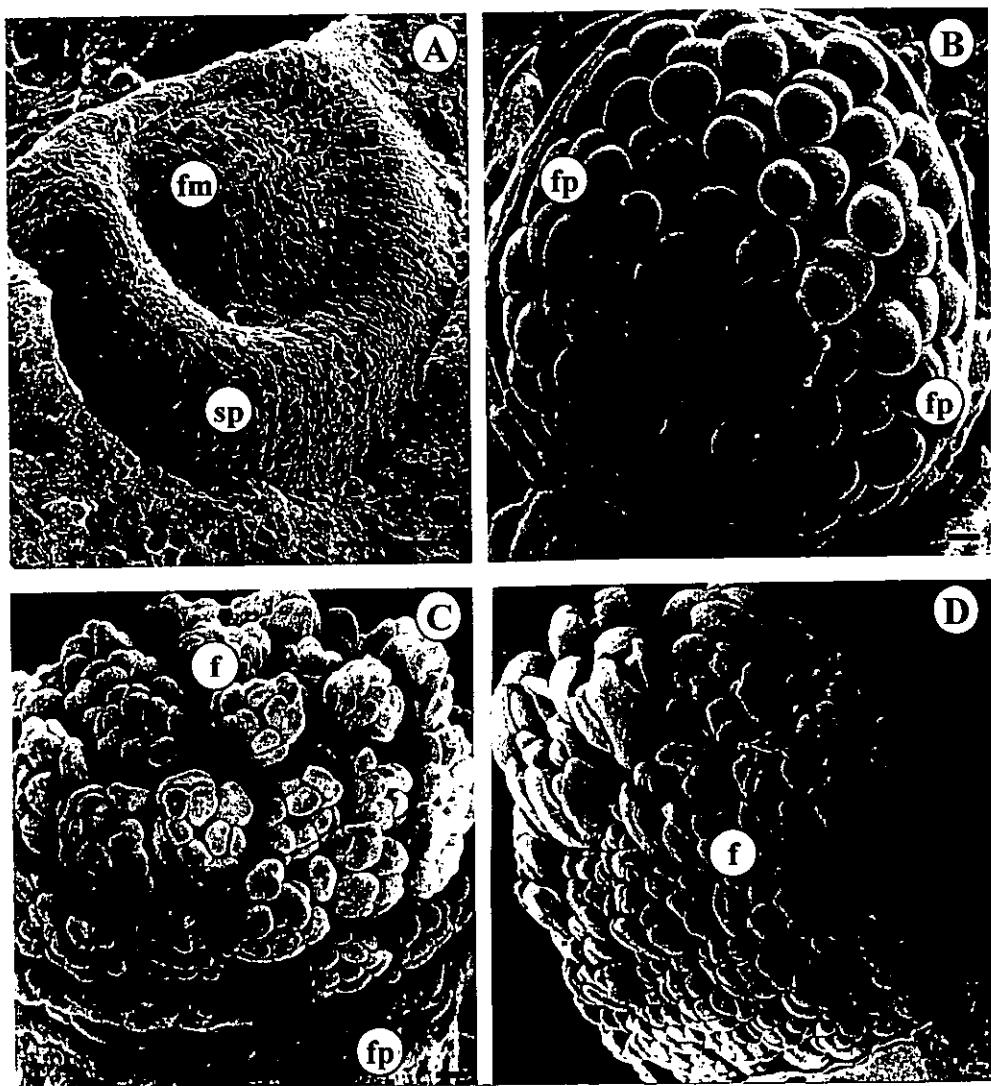
توزאות המחקר הוצגו בכנס בינלאומי בנושא NMR, באיטליה בספטמבר 1999 (חנינה צמח ופטר בנדל), בסמינרים מדעיים במכון וולקני וימי עיון למגדלים ומדריכים, ובכנס השנתי של החברה הישראלית למדעי הצמח ב 1999, 2000 ו- 2001.

פריטות בעיתון מדעי:

1. Zemah, H., Bendel, P., Rabinowitch, H. and R. Kamenetsky (1999). Visualization of morphological structure and water status during storage of *Allium aflatunense* bulbs by NMR imaging. *Plant Science*, 147: 65-73
2. Kamenetsky, R., Zemah, H. and Bendel, P. (1999) Visualization of morphological structure and water status in the bulbs by magnetic resonance imaging (MRI). Israeli Society of Plant Sciences, 1999, Weizmann Institute of Science, Rehovot, Israel (unnumbered pages)
3. Zemah, H., Van der Toorn, A., Van As, H., Bendel, P. and Kamenetsky, R. (2000) Physiological changes during storage of tulip bulbs: study by magnetic resonance imaging (MRI). VIII International Symposium on Flower Bulbs, Kirstenbosch, Cape Town, South Africa, p. 75-76
4. Kamenetsky, R., Zemah , H., Van der Toorn, A., Bendel, P. and Van As, H. (2000). Use of Magnetic Resonance Imaging (MRI) for evaluation of physiological status of bulbs during storage. DIARP (The Joint Dutch-Israeli Agricultural Research Program) Bi-national Workshop on Advances in Handling, Transportation and Logistics of Ornamentals, Israel, 2000, p. 12.
5. Zemah, H., Vergeldt, F., Kamenetsky, R., van As, H. and Bendel, P. (2001). MRI monitoring of water status during storage of tulip bulbs: Imaging of relaxation rates, proton density, and magnetization transfer contrast (MTC). 4th User Meeting of the European Large-Scale Facilities for NMR, Noordwijkerhout, The Netherlands, p. 84
6. Kamenetsky, R., Zemah, H., van der Toorn, A., Van As,H and P. Bendel (2000) Morphological structure and water status in bulbs during their transition from dormancy to active growth: visualization of by NMR imaging. *Dormancy in Plants* (J.D. Viemont and J. Crabbe, eds). CAB International, p.121-138
7. Zemah, H., Van der Toorn, A., Van As, H., Bendel, P. and Kamenetsky, R. (2000). Physiological changes during storage of tulip bulbs: study by magnetic resonance imaging (MRI) *Israeli Society of Plant Sciences*, 2000, The Volcani Center, Bet Dagan, Israel (unnumbered pages)
8. Zemah, H., Vergeldt, F., Kamenetsky, R., van As, H. and Bendel, P. (2001). MRI monitoring of water status during storage of tulip bulbs: Imaging of relaxation rates, proton density, and magnetization transfer contrast (MTC). Annual Conference of the Israeli Society of Plant Sciences. Abstracts of Presentations. Israel Journal of Plant Sciences, Vol. 49, p. 171.
9. Bendel, P. Zemah, H., Kamenetsky, R., Vergeldt, F. and van As, H. (2001) Magnetization transfer and double-quantum filtered imaging as probes for motional restricted water in tulip bulbs. *Magnetic Resonance Imaging*, 19: 857-865
10. Kamenetsky, R., H. Zemah, A.P. Ranwala, D. Ranwala, F. Vergeldt, W.B. Miller, H. Van As and P. Bendel. Water relations and carbohydrate balance in tulip bulbs during their transition from dormancy to active growth (Submitted)

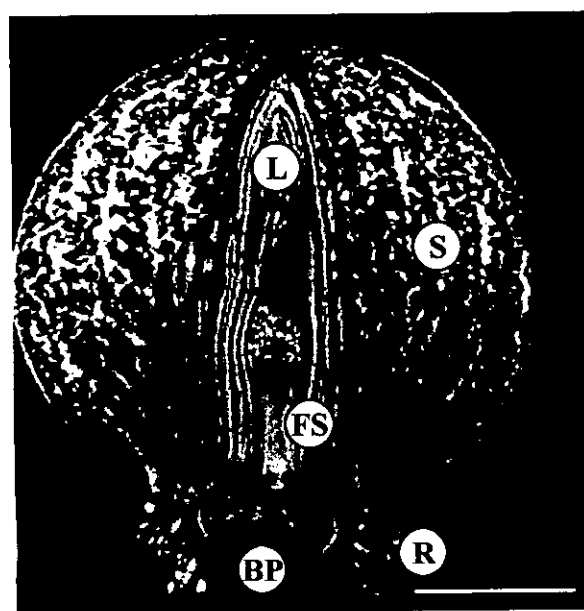


איור 1. מחזור החיים השני של שום אפלטון בישראל. המעגל החיצוני מתאר את ההתפתחות הנראית של הבצל השלם. המעגל הפנימי מתאר את ההתפתחות הפנימית של הנצר המונוקרי.

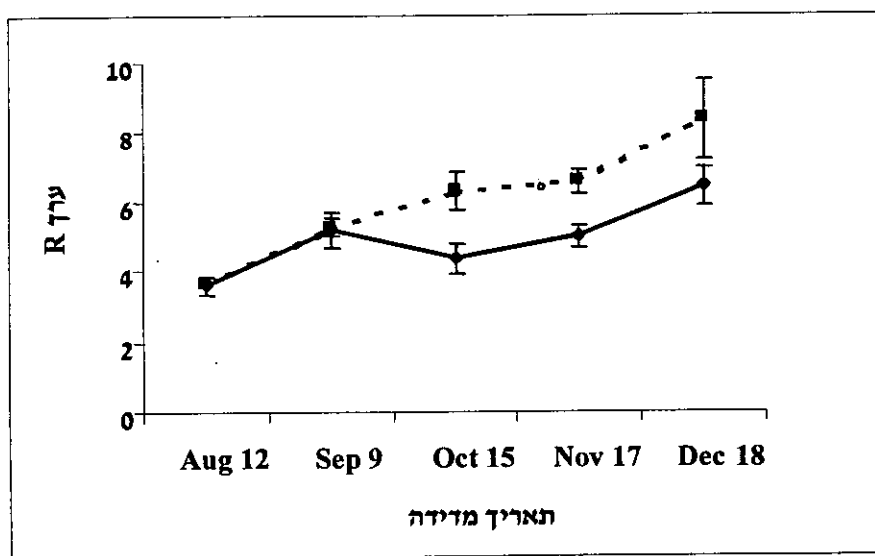


איור 2. התפתחות התפרחות של *Allium afghanense* כפי שמצולם במקroscope אלקטронי סורק
קנה מידת 0.1 מ"מ

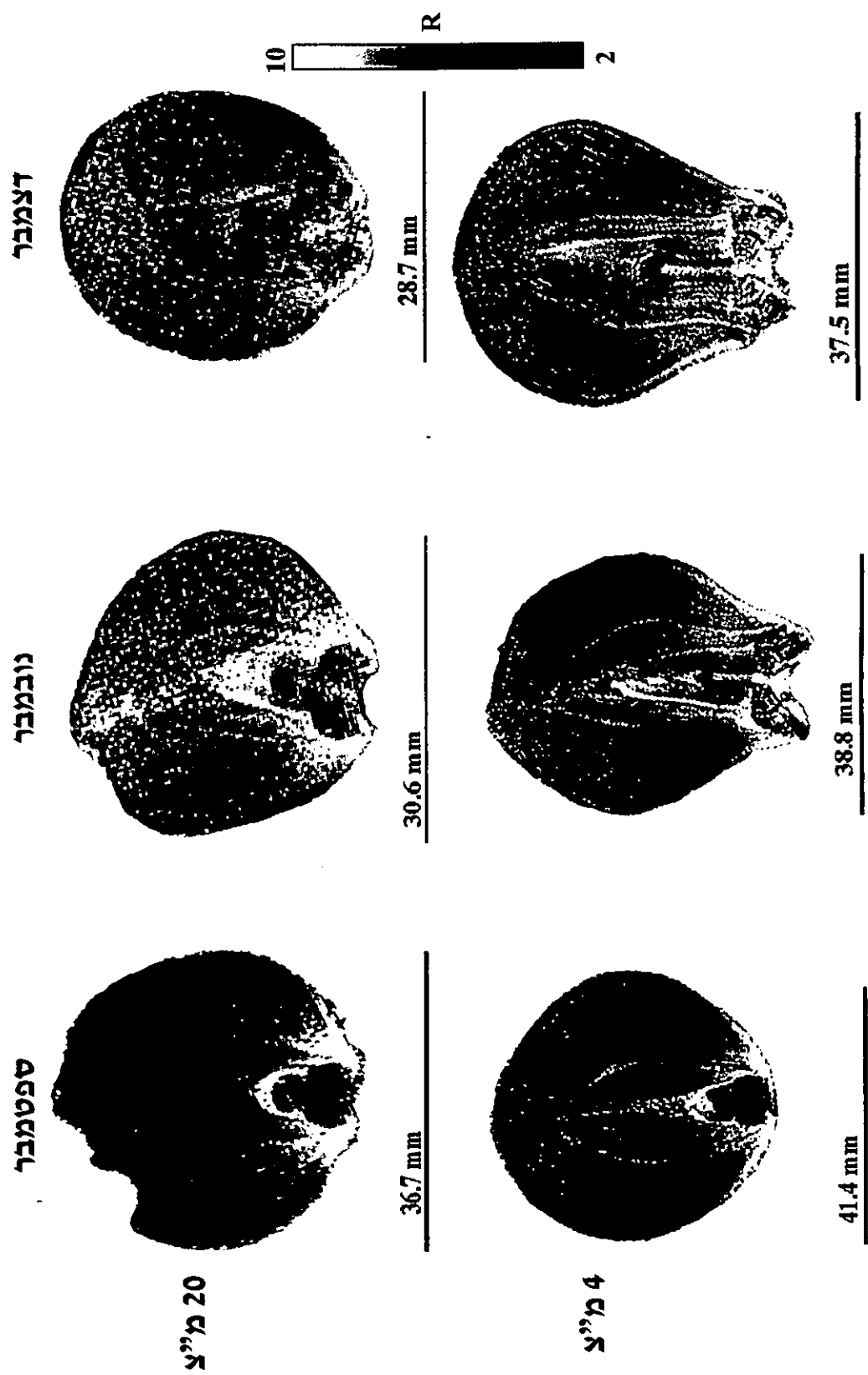
- A – התמיינות המתחל (sp) והMRIסתמה הפלורלית (fm) בחודש מרץ
- B – התמיינות פרימורדיות פרחים (fp) בMRIסתמה הקדקודית
- C – התפתחות התפרחת לאחר ארבעה חודשים אחסון ב 4 מ"ץ . ניתן לצפות בהתמיינות אברי הפרח בפרחים (f), ובפרימורדיות פרחים (fp)
- D – התמיינות לפריחה לאחר האחסון ב 20 מ"ץ , התמיינות פרחים מלאה (f)



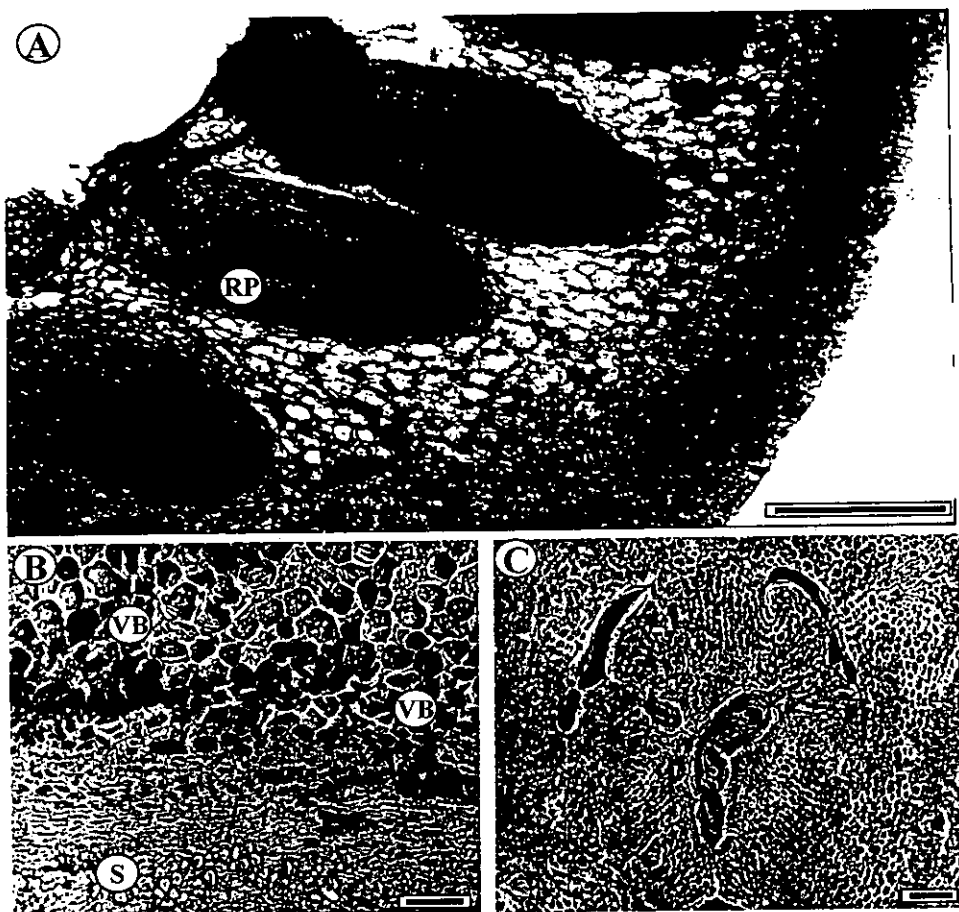
איור 3. תמונה הדמיה מגנטית של בצל שום אפלטון לאחר אחסון ב-4 מ"ץ במשך ארבעה חודשים, ניתן להבחין במבנה הפנימי של הבצל: עוגת בצל (BP), שורשים (R), גלד תשומת (S), עלים מתפתחים (L), עמוד תפוחת (FS)



איור 5. שינויים בערך R בעוגת הבצל של בצל שום אפלטון במהלך האחסון מאוגוסט ועד דצמבר ב- 4 (.....) או ב-20 מ"ץ (—)



איור 4. תוצאות הבדיקה של בצלים שום אפלטון במלח האחתיין בין אוגוסט לדצמבר בטמפרטורה של 4 או 20 מ'ג. הרוחניות מביאות את ערכי $R < 2$ $R > 10$ לבן.

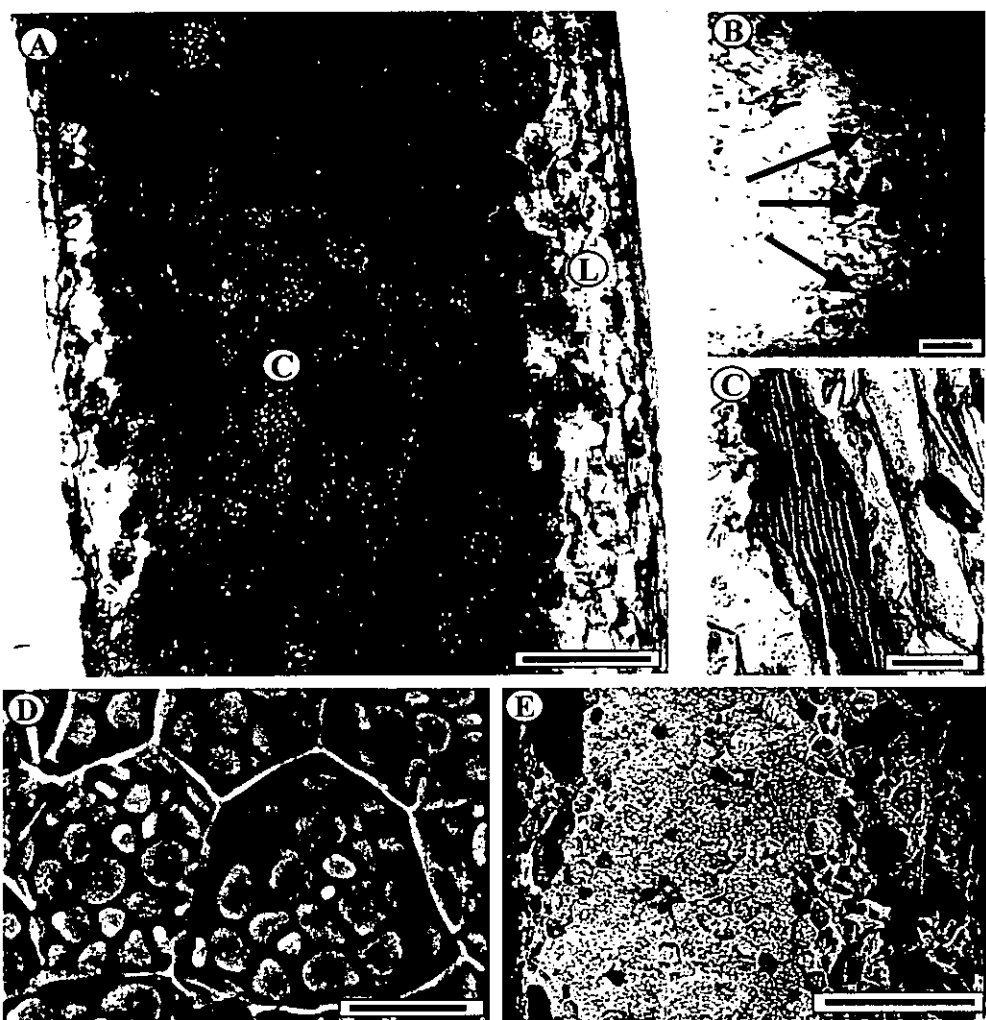


איור 6. חתכים בעוגת הבצל ובניצן המתפתח כפי שנצפו ב顯微鏡 אור וב顯微鏡 אלקטרוני סורק

-A- חתך אורך בעוגת הבצל של צבעוני בחודש דצמבר בדגם טרייה שנכבהה ב Sudan Red כפי שנצפה תחת מיקרוסkop אור. ניתן לראות את האפידרמיס (E) ופרימורדיות השורשים (RP) בחז מסומנים Tipot שומן שנצפו בתאי הפרנכיימה קנה מידה=400 מיקרון .

-B- חתך רוחב בעוגת הבצל כפי שנצפה במיקרוסkop אלקטרוני סורק. ניתן לראות תאים גדולים, צוררות הובלה (VB) וגרגרי עמילן (S) קנה מידה= 100 מיקרון .

-C- חתך רוחב בניצן המרכזי של בצל צבעוני בחודש דצמבר כפי שנצפה במיקרוסkop אלקטרוני סורק , ניתן לראות Tipot רקמה שונים המורכבים מתאים קטנים וחללים בין תאים רבים. קנה מידה= 100 מיקרון .



איור 7 . חתכים בגלד צבעוני כפי שנצפו במקטרוסקופ אור ובמקטרוסקופ אלקטרוני סורק

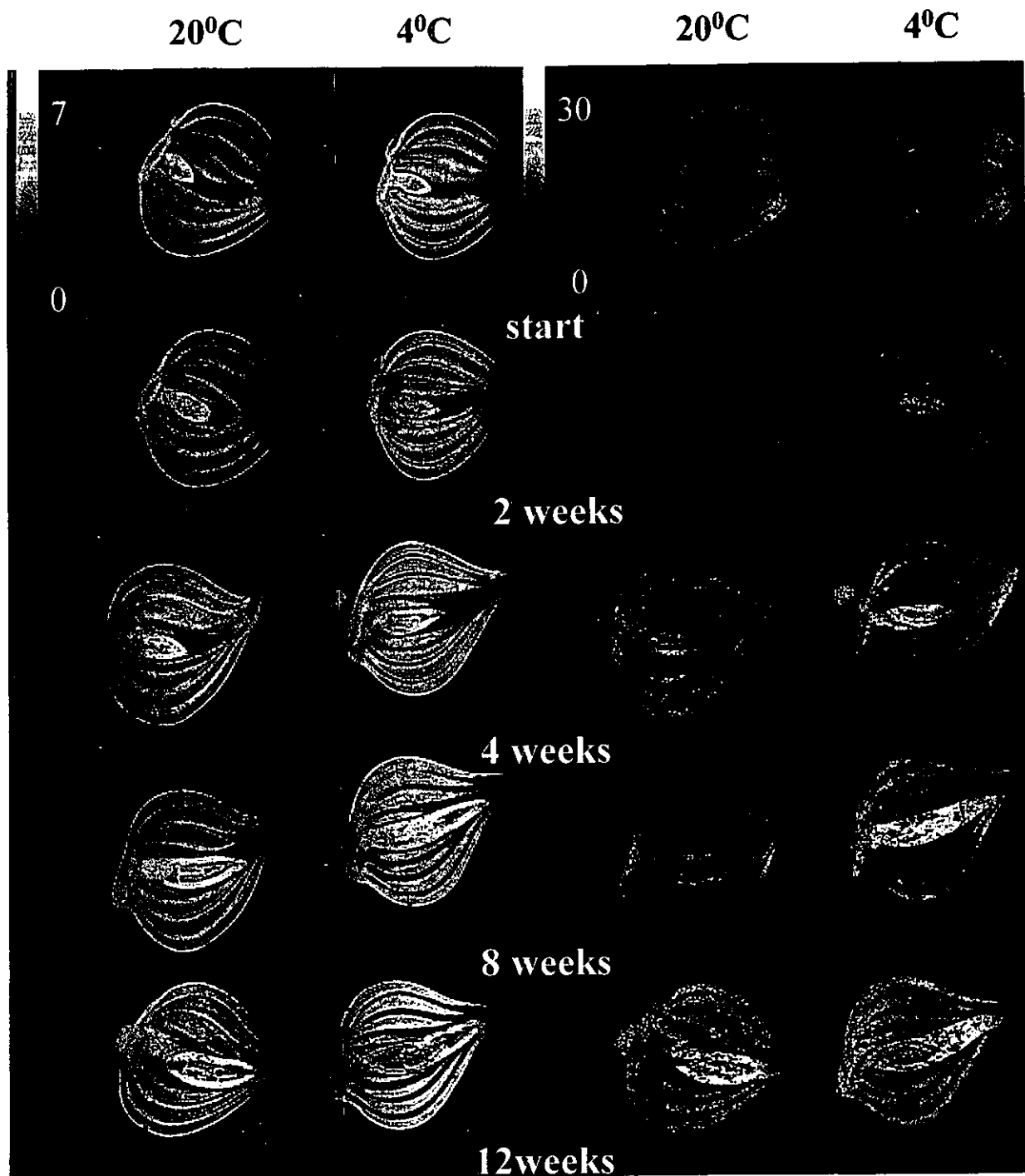
A- חתך אורך בגלד של צבעוני כפי שנצפה במקטרוסקופ אור לאחר צביעה ביוד IKI : במרכזו הגלד (C) מצויים גרגרי עמיין רבים בהשוואה לאזורי הלטרלים (L) בר= 400 מיקרון.

B- מבט במקטרוסקופ אור על החלק הלטרלי של הגלד לאחר קיבוע בפרפין וצביעה באלציאן גריין ספרינין, החיצים מצבעים על מרבצים של פוליסקריד בשכבה התת אפידרמלית בר= 500 מיקרון.

C- מבט מקרוב על מרבץ הפוליסקריד בשכבה התת אפידרמלית. בר- 100 מיקרון.

D- תאי תשומות גדולים מהחלה המרכזי של גלד כפי שנצפו במקטרוסקופ אלקטרוני סורק.

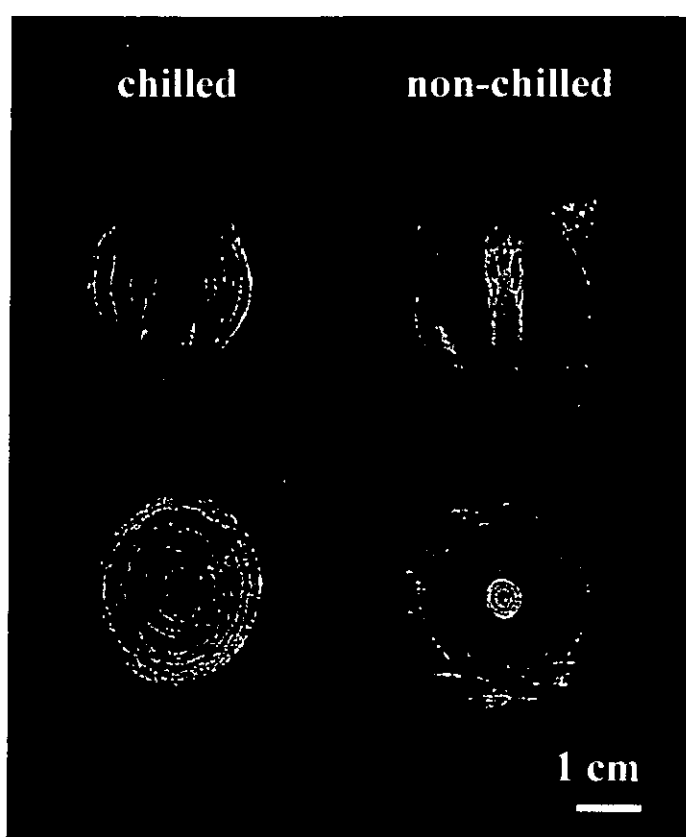
E- חתך בגלד הצבעוני בחודש דצמבר כפי שנצפה במקטרוסקופ אלקטרוני סורק. פירוק עמיין מתמשך גם ב 4 וגם ב 20 מ"ג



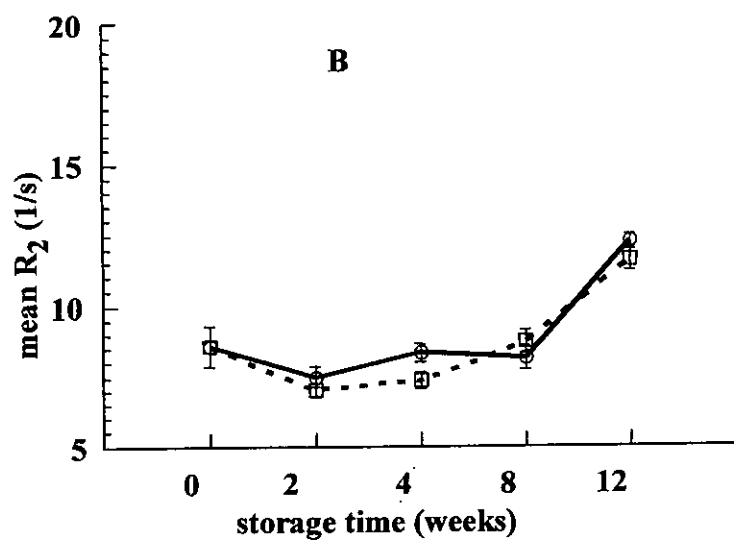
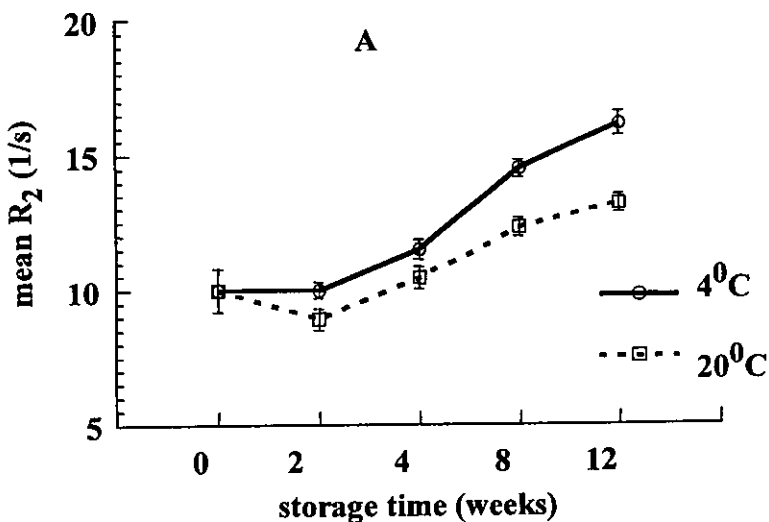
Proton density

$\text{R}_2 (=1/\text{T}_2)$

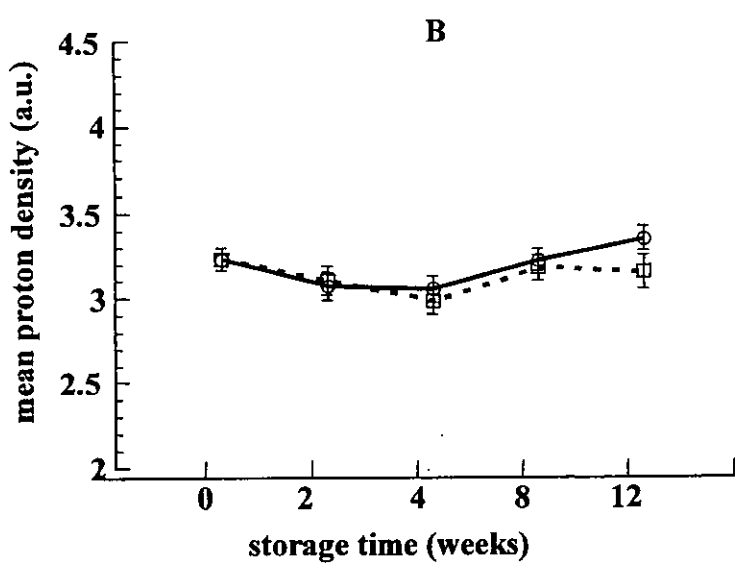
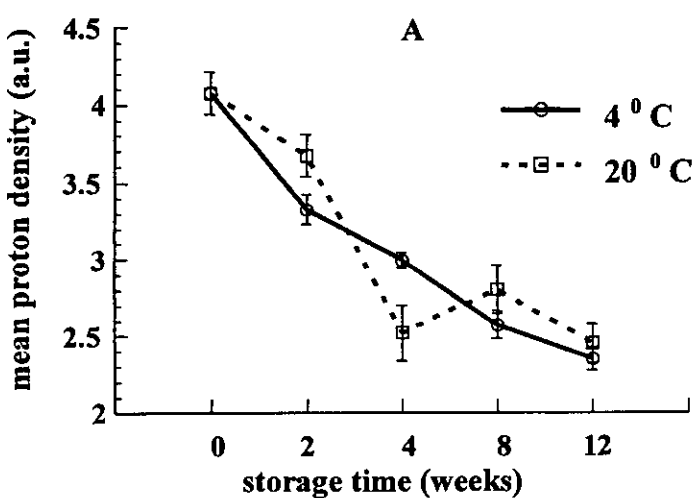
איור 8. צפיפות הפרוטונים (עמודה 1 ו-2) ו- R_2 (עמודה 3 ו-4) של בצליל צבעוניים במהלך האחסון ב- 20 ו- 4 מעלות במשך 12 שבועות.



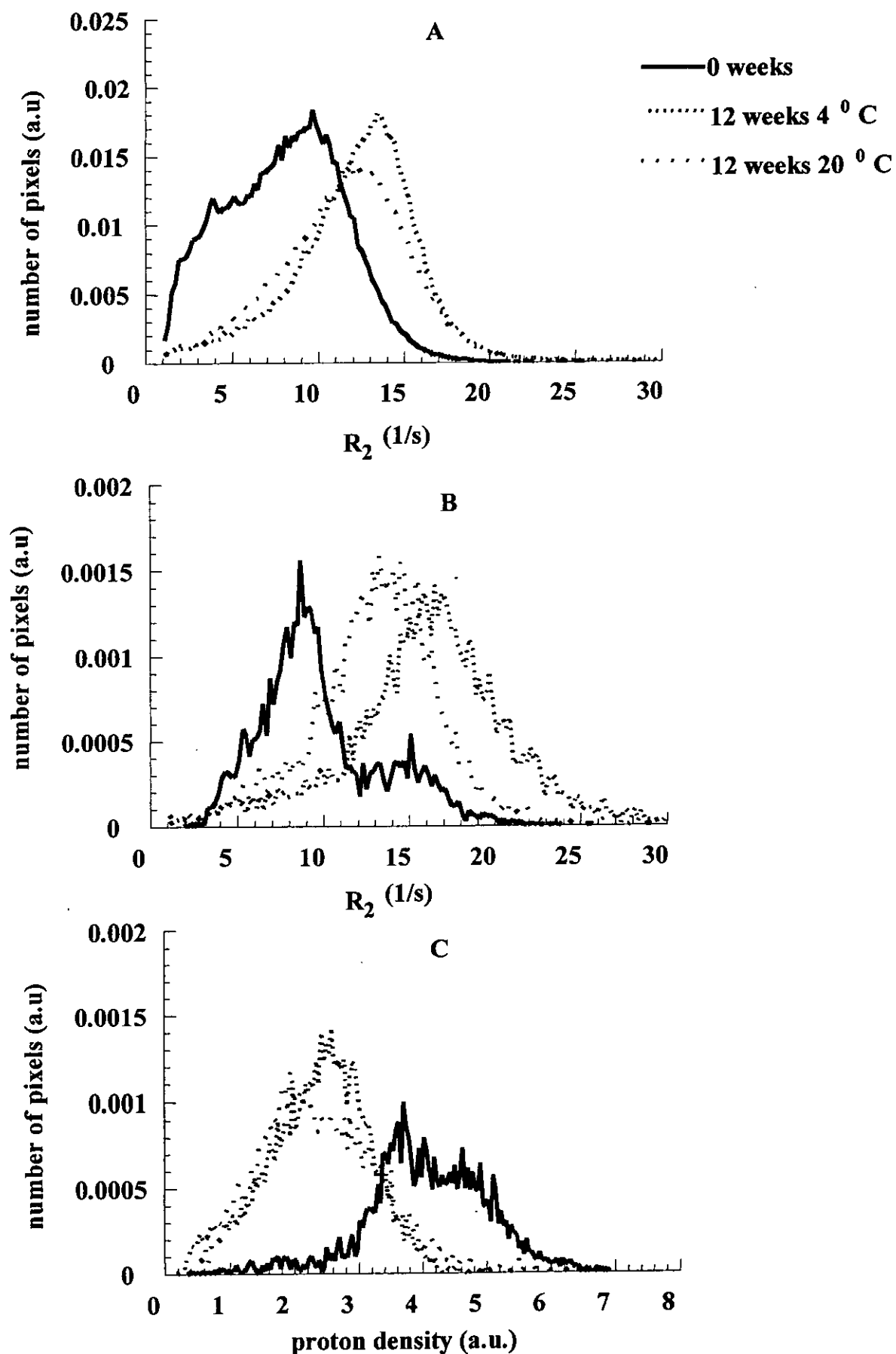
איור 9. הדמיות של בצל צבעוני 10 ימים לאחר שתילה: חתך אורך ורוחב. בבצל לאחר אחסון ב 4 מ"ץ עמוד התפרחות נראית במרכזו הבצל העוד שהעלים והפרה כבר גדו ויצאו מהאזור הרגish של הסליל. בבצל לאחר אחסון ב 20 מ"ץ פרימורדיות העלים עדין נראות.



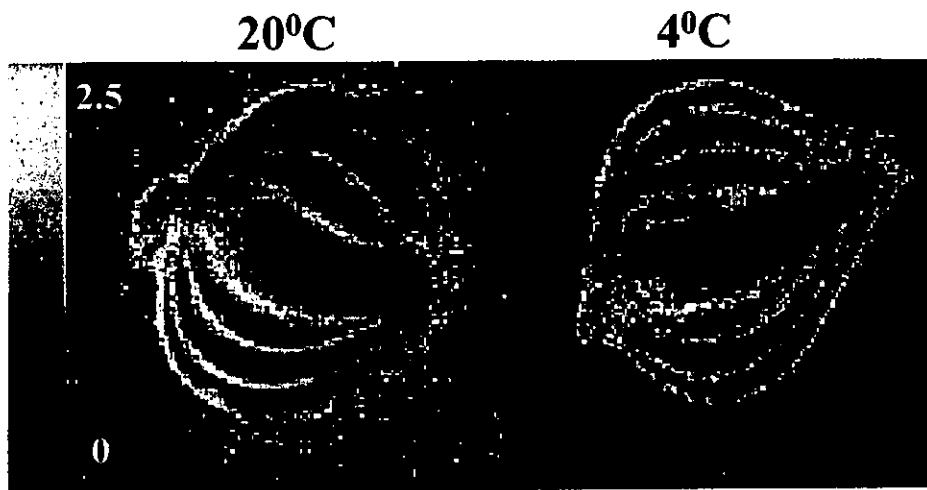
איור 10. ערך ממוצע של R_2 בעוגת הבצל (A) והגלאדים (B) בבצלים מקוררים (4°C , קו ישר) ולא מקוררים (20°C , קו מקווקו) במהלך 12 שבועות אחסון.



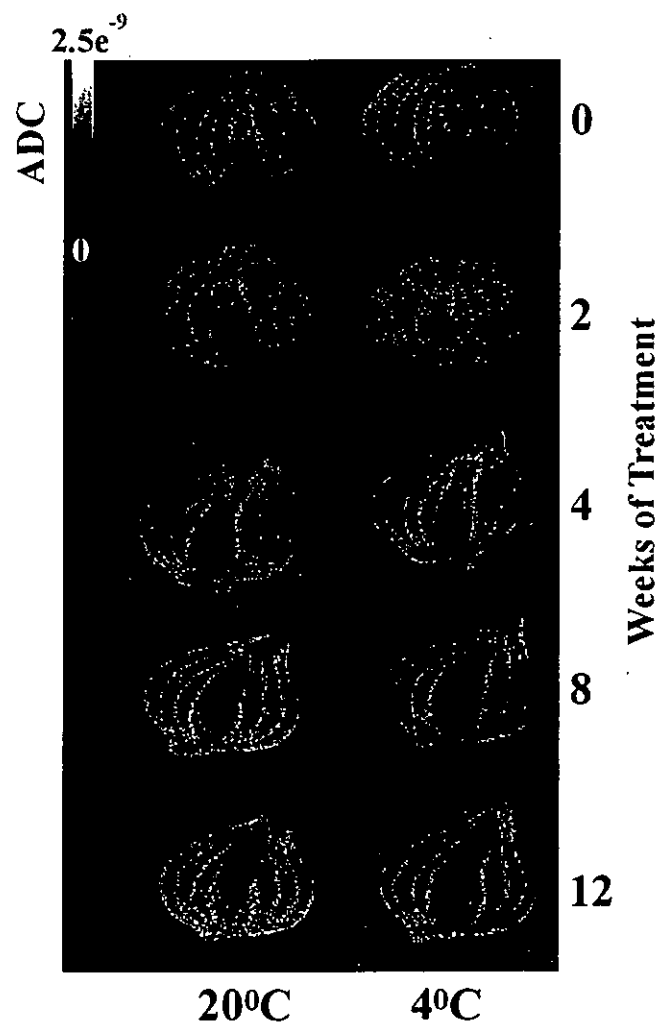
איור 11. ערך ממוצע של צפיפות הפרוטונים בעוגת הבצל (A) והגלאם (B) בבצלים מקוררים (4 מ"ץ, קו ישר) ולא מקוררים (20 מ"ץ, קו מקווקו) במהלך 12 שבועות אחסון.



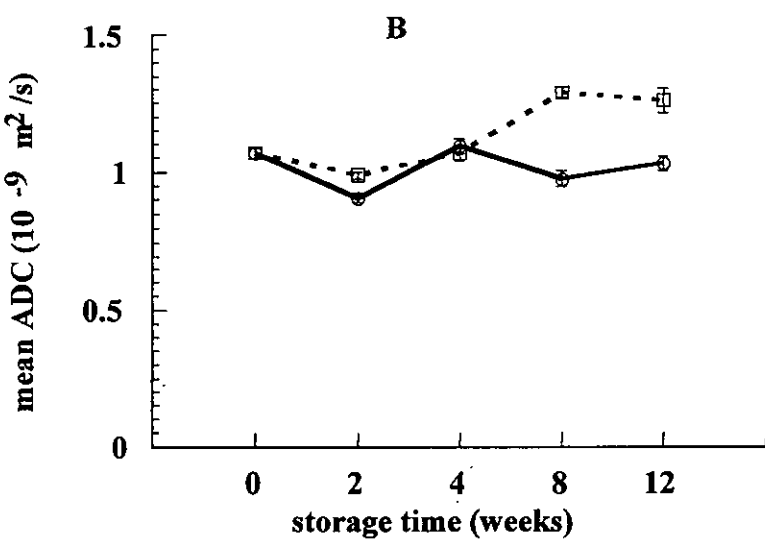
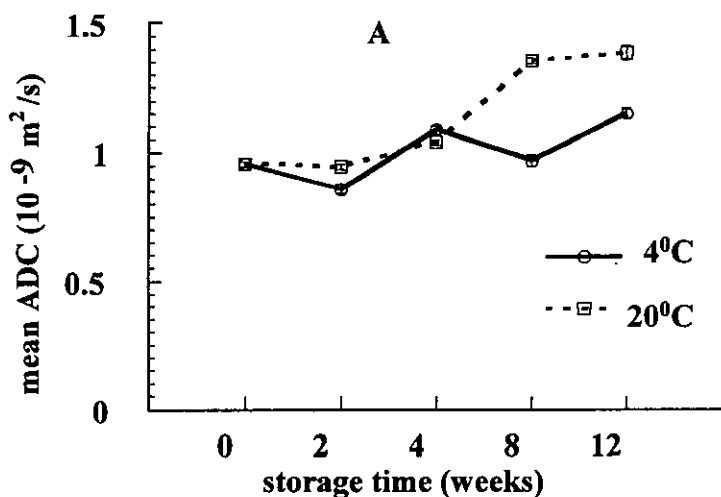
איור 12. היסטוגרמות המציגות את פיזור ערכי R_2 בגלדים (A) ועוגת הבצל (B) וצפיפות הפרוטונים בעוגת הבצל (C), בכלל הבצלים בניסוי שאותחנו ב- 4 ו- 20 מ"ץ במשך 12 שבועות. של ה-Y מייצג את מספר הפיקסלים שנמצאו בטווח מסוים של ערכים לאורך ציר ה- X.



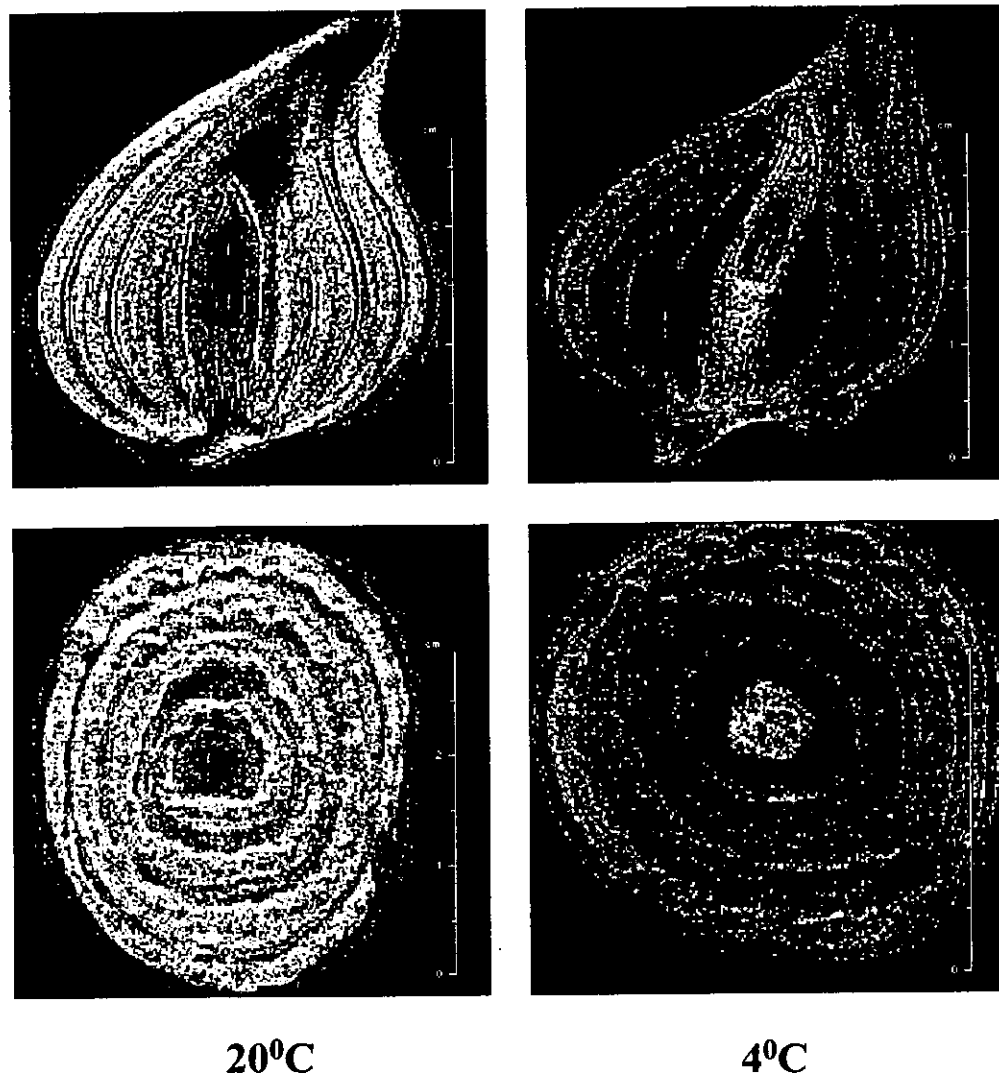
איור 13. מפות \bar{R} של שני בצלים מייצגים בתום 12 שבועות אחסן ב- 20 ו- 4 מ"ץ. ההבדלים בין הבצלים בולטים באזורי הלטרלים של הגדה המציגים ערכי \bar{R} נמוכים יותר ב 20 מ"ץ בהשוואה ל 4 מ"ץ.



אייר 14. הדמויות NMR המראות את ערכי הדיפוזיה (ADC) בבצלים מקוררים ולא מקוררים במשך 12 שבועות בתאסון.



איור 15. ערכים ממוצעים של דיפוזית המים בעוגת הבצל (A) והניין (B) של בצלים מקוררים ולא מקוררים במשך 12 שבועות אחסון.



איור 16. אפקט ה MT בבצלים של צבעוני לאחר 8 שבועות של אחסון ב-4 ו- 20°C מיצ' הסקלה האפורה מצינית ערכיהם לינאריים בין 0.2 ל-0.6.